

Místo, datum:
Praha, 14. 7. 2020



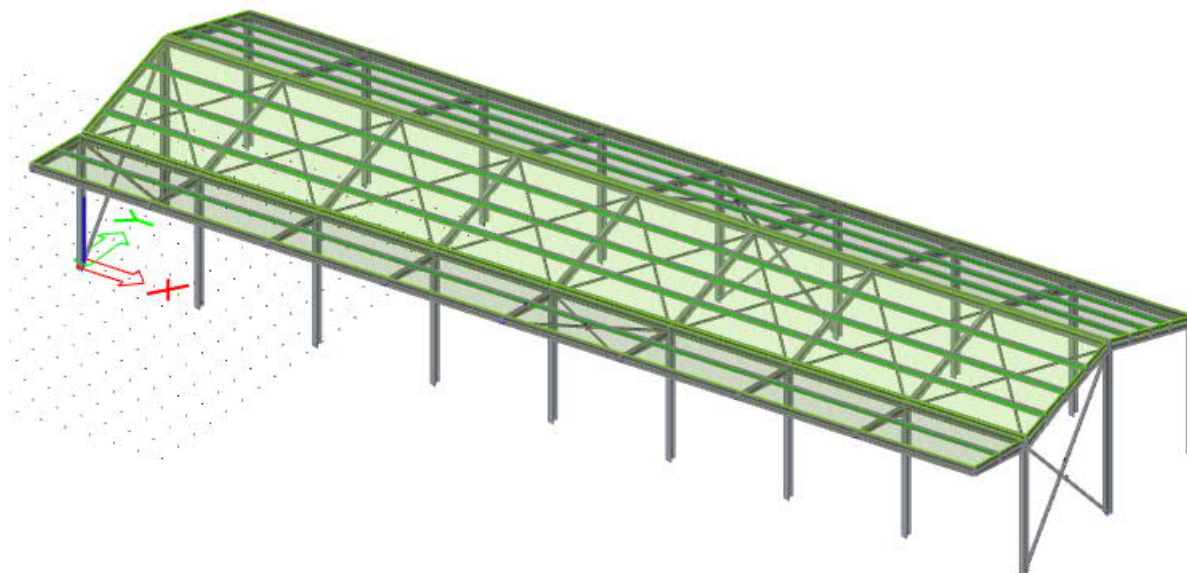
Stavba: Garážová stání, Pražská 917, Sušice

Vypracoval: Ing. Kovář Karel

Kontroloval: Ing. Tomáš Turský

REAKCE DO ZÁKLADŮ (SO.01)

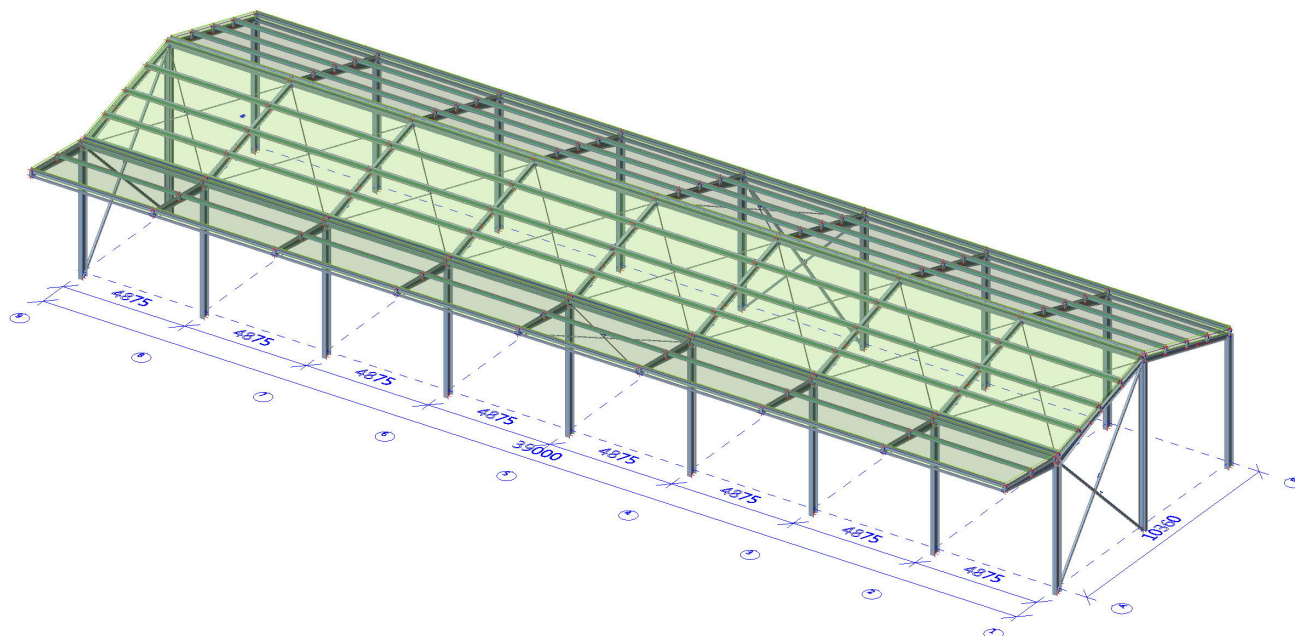
Tendrová dokumentace



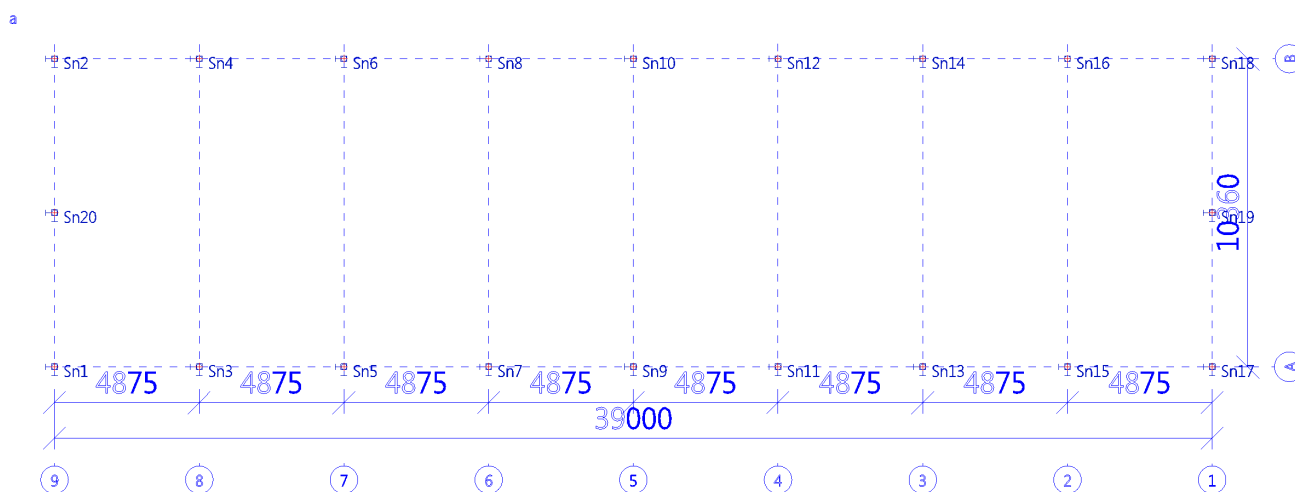
Kancelář / Office:
Ruukki Building Systems, s.r.o.
Pekařská 695/10a
CZ-155 00, Praha 5
<https://www.ruukki.com/building-systems>

Fakturační adresa / Invoicing Address:
Ruukki Building Systems, s.r.o.
Pekařská 695/10a
CZ-155 00, Praha 5
CZ08130671

Model konstrukce



Označení podpor



Uvažované zatížení

Stálé - střecha

skladba	normové [kN/m ²]	souč. zatíž. γ_f	výpočtové [kN/m ²]
Trapézový plech CB 40/160/0,75	0,100	1,35	0,135
Osvětlení	0,050	1,35	0,068
Celkem	0,150	1,35	0,203

Vlastní hmotnost ocelové konstrukce generuje program Scia Engineer.

Nahodilé - užité

skladba	normové [kN/m ²]	souč. zatíž. γ_f	výpočtové [kN/m ²]
Užitné (kat. H)	0,750	1,50	1,125
Celkem stálé	0,750	1,50	1,125

Teplota

- je uvažováno se zatížením teplotou +45°C (65-20)

- je uvažováno se zatížením teplotou -50°C (-30-20)

Klimatická zatížení

sníh

$$s_n = s_k \cdot \mu \cdot C_e \cdot C_t \quad \gamma_f = 1,5$$

sněhová oblast:

II.

$$s_n = 0,77 \text{ [kN/m}^2\text{]} \quad (\text{Sušice, Pražská 917) dle ČHMÚ}$$

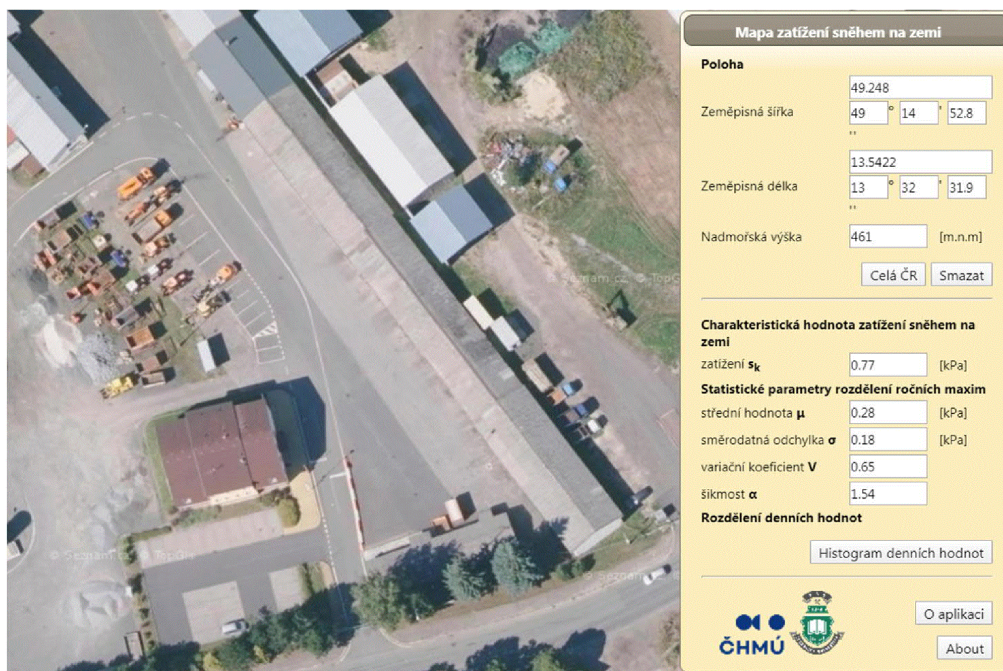
$$\mu = 1,10 \quad \text{Sníh v úžlabí (konzola x střecha)}$$

$$C_e = 1,0$$

$$C_t = 1,0$$

$$s_n = \mathbf{0,847}$$

$$s_d = \mathbf{1,2705 \text{ kN/m}^2}$$



Mapa zatížení sněhem na zemi

Poloha

Zeměpisná šířka: 49.248
Zeměpisná délka: 13.5422
Nadmořská výška: 461 [m.n.m.]

Charakteristická hodnota zatížení sněhem na zemi

zatížení s_k : 0.77 [kPa]

Statistické parametry rozdělení ročních maxim

střední hodnota μ : 0.28 [kPa]
směrodatná odchylka σ : 0.18 [kPa]
variační koeficient V : 0.65
šikmost α : 1.54

Rozdělení denních hodnot

Histogram denních hodnot

ČHMÚ

Uvažovaný vítr na střeše

Kategorie terénu		z_0 [m]	z_{min} [m]
0	Moře nebo pobřežní oblasti	0,003	1
I	Vodorovné oblasti bez překážek, jezera apod.	0,01	1
II	Nízká vegetace nebo budovy, kde jejich vzdálenost > 20x jejich výšky	0,05	2
III	Rovnoměrná vegetace, budovy kde jejich vzdálenost < 20x jejich výšky	0,3	5
IV	Min. 15%povrchu pokryto budovami o průměrné výšce >15m	1	10

Kategorie terénu	II
Výška budovy v hřebenu (m)	$z=$ 6,52
Větrová oblast	II
Výchozí hodnota základní rychlosti větru (m.s-1)	$v_{b,0}=$ 25

$$\begin{aligned}
 v_b &= c_{dir} \cdot c_{season} \cdot v_{b,0} \text{ (m} \cdot \text{s}^{-1}) \\
 v_b &= 25 \\
 v_m(z) &= c_r(z) \cdot c_o(z) \cdot v_b \text{ (m} \cdot \text{s}^{-1}) \\
 v_m(z) &= 23,1354 \\
 I_v(z) &= \sigma_v / v_m(z) = k_i / (c_o(z) \ln(z / z_0)), \text{ platí pro } z_{min} < z < z_{max} \\
 I_v(z) &= 0,2053 \\
 q_p(z) &= [1 + 7 I_v(z)] \rho v_m^2(z) / 2 \\
 q_p(z) &= 815,311 \\
 q_b &= 1/2 \cdot \rho \cdot v_b^2(z) \\
 q_b &= 334,5286757 \\
 c_e &= q_p(z) / q_b = \\
 c_e &= 2,43719 \\
 c_{dir} &= 1 \\
 c_{season} &= 1 \\
 z_0 &= 0,05 \\
 z_{min} &= 2 \\
 z_{max} &= 200 \\
 k_r &= 0,19 (z_0 / z_{0,II})^{0,07} \\
 k_r &= 0,1900 \\
 c_r(z) &= k_r \ln(z / z_0), \text{ pro } z_{min} < z < z_{max} \\
 c_r(z) &= c_r(z_{min}), \text{ pro } z < z_{min} \\
 c_r(z) &= 0,925415 \\
 c_o(z) &= 1 \\
 k_i &= 1 \\
 \rho &= 1,25
 \end{aligned}$$

Základní dynamický tlak větru:

$q_p(z)=$	0,815
-----------	-------

Dle normy ČSN EN 1991-1-4, článku 7.3, bodů 5 a 6 je celkový součinitel síly c_f použit pro stanovení síly, která bude zatěžovat hlavní nosnou konstrukci. Součinitel výsledného tlaku je použit pro stanovení plošného zatížení, které se využije pro návrh části střechy (trapezový plech a vaznice) a upevňovacích prvků.

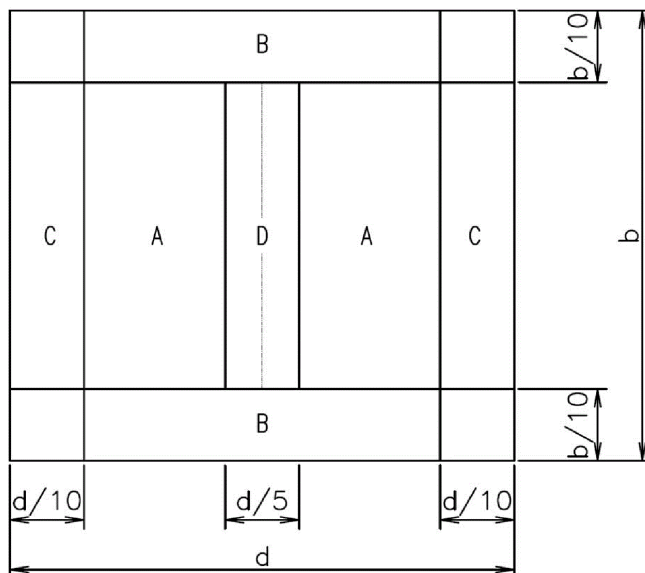
Střecha

$b = 39$
 $d = 13,95$
 $\varphi = 1$
 $h = 6,5$
 $\alpha = 16,0$

$A^{kl} = 0,940$
 $A^{z\acute{a}p} = -1,320$
 $B^{kl} = 1,900$
 $B^{z\acute{a}p} = -2,200$
 $C^{kl} = 1,420$
 $C^{z\acute{a}p} = -1,600$
 $D^{kl} = 0,400$
 $D^{z\acute{a}p} = -2,100$

$b/10 = 3,90$
 $d/10 = 1,40$
 $d/5 = 2,79$

$c_{f,t} = 0,440$
 $c_{f,s} = -1,300$



Výsledné plošné zatížení v oblastech přístřešku

$A^{kl} = 0,766$
 $A^{z\acute{a}p} = -1,076$
 $B^{kl} = 1,549$
 $B^{z\acute{a}p} = -1,794$
 $C^{kl} = 1,158$
 $C^{z\acute{a}p} = -1,304$
 $D^{kl} = 0,326$
 $D^{z\acute{a}p} = -1,712$

Stanovení síly:

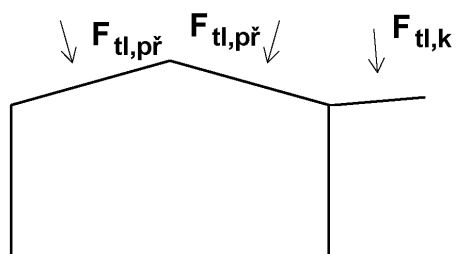
tlak příčel: $F_{tl,př} = c_{f,t} \cdot q_p(z) \cdot z_s \cdot L_{př} = 0,44 \cdot 0,815 \cdot 4,875 \cdot 5,4 = 9,5 \text{ kN}$

sání příčel: $F_{sa,př} = c_{f,s} \cdot q_p(z) \cdot z_s \cdot L_{př} = -1,3 \cdot 0,815 \cdot 4,875 \cdot 5,4 = -27,9 \text{ kN}$

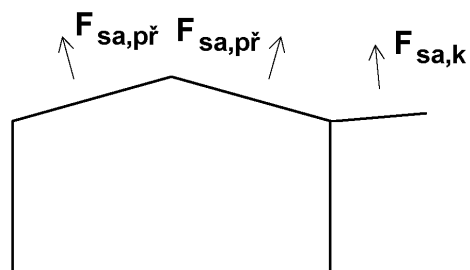
tlak konzola: $F_{tl,k} = c_{f,t} \cdot q_p(z) \cdot z_s \cdot L_k = 0,44 \cdot 0,815 \cdot 4,875 \cdot 3,2 = 5,6 \text{ kN}$

sání konzola: $F_{sa,k} = c_{f,s} \cdot q_p(z) \cdot z_s \cdot L_k = -1,3 \cdot 0,815 \cdot 4,875 \cdot 3,2 = -16,5 \text{ kN}$

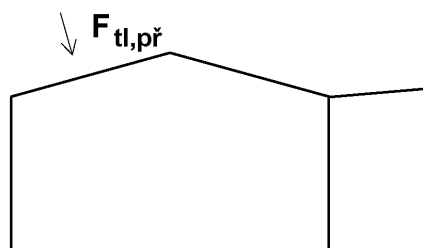
Střecha a



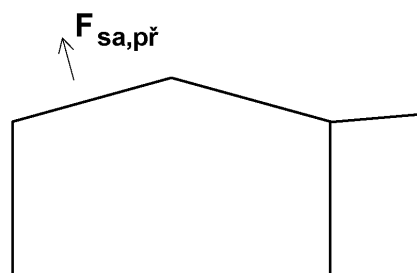
Střecha b



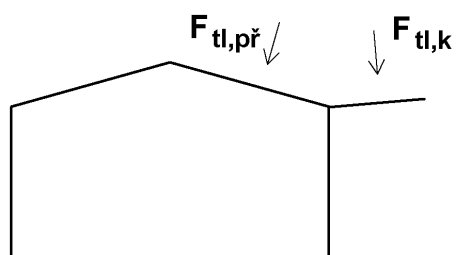
Střecha c



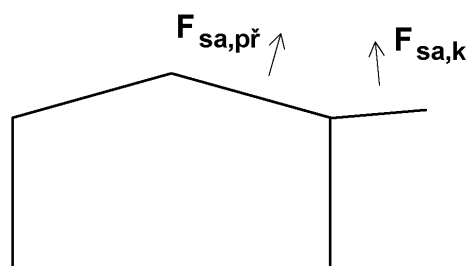
Střecha d



Střecha e



Střecha f

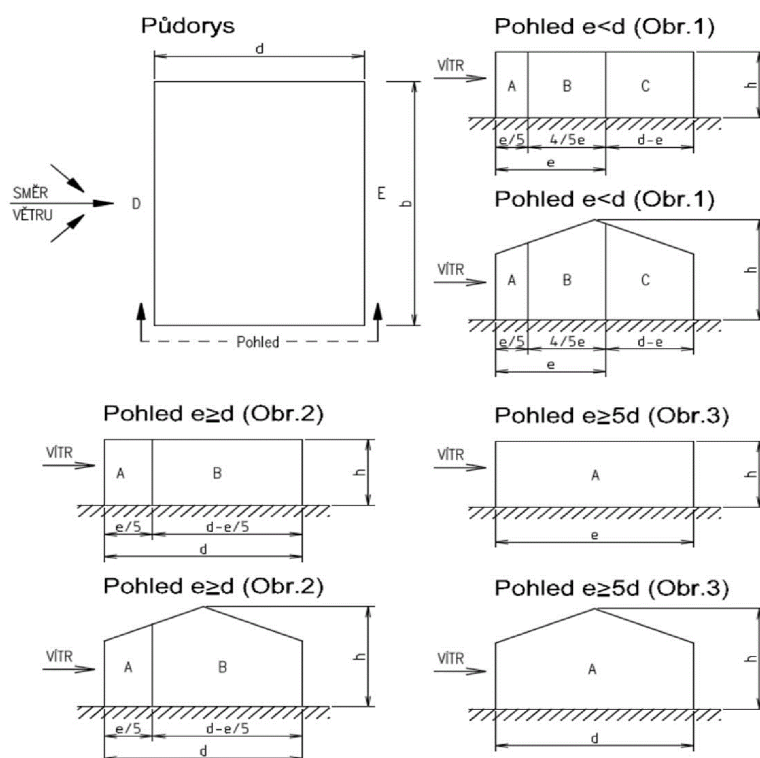


Uvažovaný vítr na stěny

Tvarové součinitele stěn

 $d = 10,600$
 $b = 39$
 $h = 6,52$
 $h/d = 0,615$
 $e = \min(b, 2h)$
 $e = 13,04$
 $e > d \rightarrow$

Platí obrázek 2


 $A = -1,200$
 $B = -0,800$
 $C = -0,500$
 $D = 0,749$
 $E = -0,397$

oblast A (m) 2,61

oblast B (m) 7,99

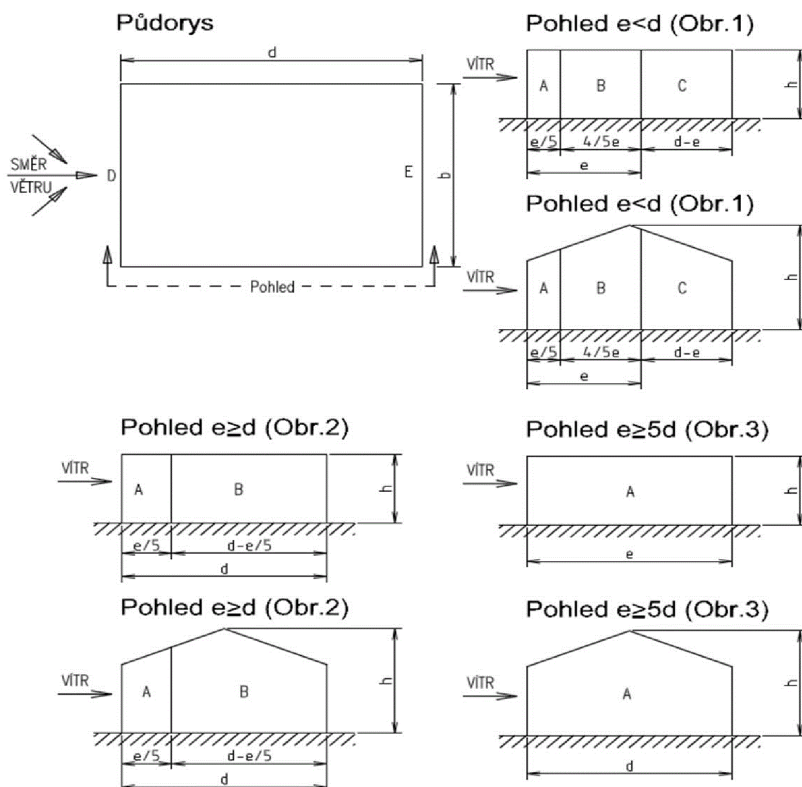
oblast C (m) 0,00

 $w_n(A) = -0,978$
 $w_n(B) = -0,652$
 $w_n(C) = -0,408$
 $w_n(D) = 0,610$
 $w_n(E) = -0,324$
 $w_d(A) = -1,468$
 $w_d(B) = -0,978$
 $w_d(C) = -0,611$
 $w_d(D) = 0,916$
 $w_d(E) = -0,486$

Tvarové součinitele stěn

$d = 39$
 $b = 10,6$
 $h = 6,52$
 $h/d = 0,167$
 $e = \min(b, 2h)$
 $e = 10,6$
 $e < d \rightarrow$

Platí obrázek 1

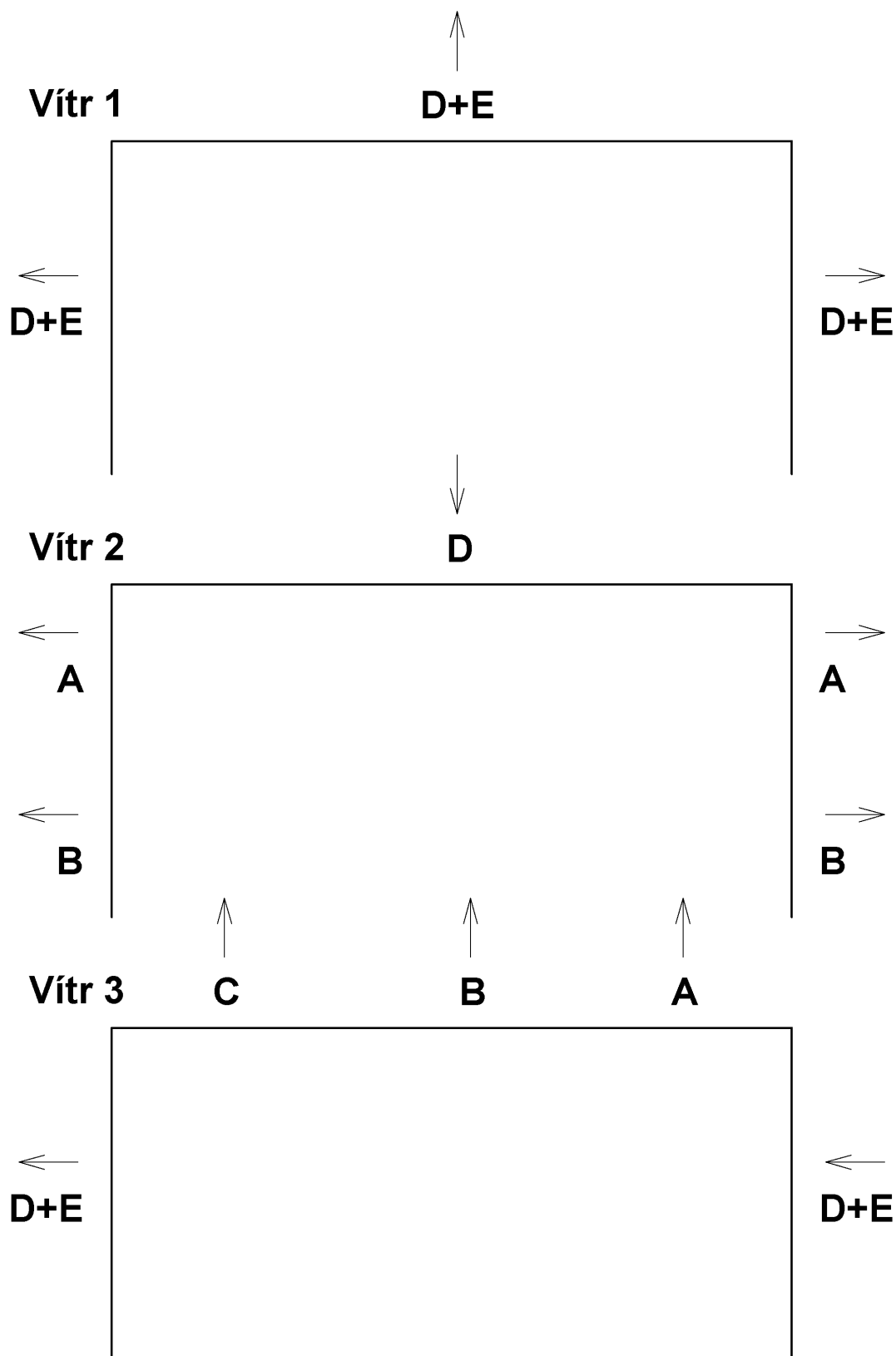


$A = -1,200$
 $B = -0,800$
 $C = -0,500$
 $D = 0,700$
 $E = -0,300$

oblast A (m) 2,12
 oblast B (m) 8,48
 oblast C (m) 28,40

$w_n(A) = -0,978$
 $w_n(B) = -0,652$
 $w_n(C) = -0,408$
 $w_n(D) = 0,571$
 $w_n(E) = -0,245$

$w_d(A) = -1,468$
 $w_d(B) = -0,978$
 $w_d(C) = -0,611$
 $w_d(D) = 0,856$
 $w_d(E) = -0,367$



Zatěžovací stavy

Name	Description	Action type	Load group	Direction	Duration	Master load case
	Spec	Load type				
LC1	Self weight	Permanent	LG1	-Z		
		Self weight				
LC2	Stálé	Permanent	LG1			
		Standard				
LC3	Užitné	Variable	LG2		Short	None
	Standard	Static				
LC4	Sníh I	Variable	LG3		Short	None
	Standard	Static				
LC5	Sníh II	Variable	LG3		Short	None
	Standard	Static				
LC6	Sníh III	Variable	LG3		Short	None
	Standard	Static				
LC7	Vítr 1a	Variable	LG4			None
	Static wind	Static				
LC8	Vítr 1b	Variable	LG4			None
	Static wind	Static				
LC9	Vítr 1c	Variable	LG4			None
	Static wind	Static				
LC10	Vítr 1d	Variable	LG4			None
	Static wind	Static				
LC11	Vítr 1e	Variable	LG4			None
	Static wind	Static				
LC12	Vítr 1f	Variable	LG4			None
	Static wind	Static				
LC13	Vítr 2a	Variable	LG4			None
	Static wind	Static				
LC14	Vítr 2b	Variable	LG4			None
	Static wind	Static				
LC15	Vítr 2c	Variable	LG4			None
	Static wind	Static				
LC16	Vítr 2d	Variable	LG4			None
	Static wind	Static				
LC17	Vítr 2e	Variable	LG4			None
	Static wind	Static				
LC18	Vítr 2f	Variable	LG4			None
	Static wind	Static				
LC19	Vítr 3a	Variable	LG4			None
	Static wind	Static				
LC20	Vítr 3b	Variable	LG4			None
	Static wind	Static				
LC21	Vítr 3c	Variable	LG4			None
	Static wind	Static				
LC22	Vítr 3d	Variable	LG4			None
	Static wind	Static				
LC23	Vítr 3e	Variable	LG4			None
	Static wind	Static				
LC24	Vítr 3f	Variable	LG4			None
	Static wind	Static				
LC25	Teplota +	Variable	LG5			None
	Temperature	Static				
LC26	Teplota -	Variable	LG5			None
	Temperature	Static				

Kombinace

Name	Description	Type	Load cases	Coeff. [-]
ULS-Set B (auto)		EN-ULS (STR/GEO) Set B	LC1 - Self weight	1.000000
			LC2 - Stálé	1.000000
			LC3 - Užité	1.000000
			LC4 - Sníh I	1.000000
			LC5 - Sníh II	1.000000
			LC6 - Sníh III	1.000000
			LC7 - Vitr 1a	1.000000
			LC8 - Vitr 1b	1.000000
			LC9 - Vitr 1c	1.000000
			LC10 - Vitr 1d	1.000000
			LC11 - Vitr 1e	1.000000
			LC12 - Vitr 1f	1.000000
			LC13 - Vitr 2a	1.000000
			LC14 - Vitr 2b	1.000000
			LC15 - Vitr 2c	1.000000
			LC16 - Vitr 2d	1.000000
			LC17 - Vitr 2e	1.000000
			LC18 - Vitr 2f	1.000000
			LC19 - Vitr 3a	1.000000
			LC20 - Vitr 3b	1.000000
			LC21 - Vitr 3c	1.000000
			LC22 - Vitr 3d	1.000000
			LC23 - Vitr 3e	1.000000
			LC24 - Vitr 3f	1.000000
			LC25 - Teplota +	1.000000
			LC26 - Teplota -	1.000000
SLS-Char (auto)		EN-SLS Characteristic	LC1 - Self weight	1.000000
			LC2 - Stálé	1.000000
			LC3 - Užité	1.000000
			LC4 - Sníh I	1.000000
			LC5 - Sníh II	1.000000
			LC6 - Sníh III	1.000000
			LC7 - Vitr 1a	1.000000
			LC8 - Vitr 1b	1.000000
			LC9 - Vitr 1c	1.000000
			LC10 - Vitr 1d	1.000000
			LC11 - Vitr 1e	1.000000
			LC12 - Vitr 1f	1.000000
			LC13 - Vitr 2a	1.000000
			LC14 - Vitr 2b	1.000000
			LC15 - Vitr 2c	1.000000
			LC16 - Vitr 2d	1.000000
			LC17 - Vitr 2e	1.000000
			LC18 - Vitr 2f	1.000000
			LC19 - Vitr 3a	1.000000
			LC20 - Vitr 3b	1.000000
			LC21 - Vitr 3c	1.000000
			LC22 - Vitr 3d	1.000000
			LC23 - Vitr 3e	1.000000
			LC24 - Vitr 3f	1.000000
			LC25 - Teplota +	1.000000
			LC26 - Teplota -	1.000000

Kombinační klíč

Combination key

LC1-vlastní hmotnost - Reakce Rz

Values: **R_z**

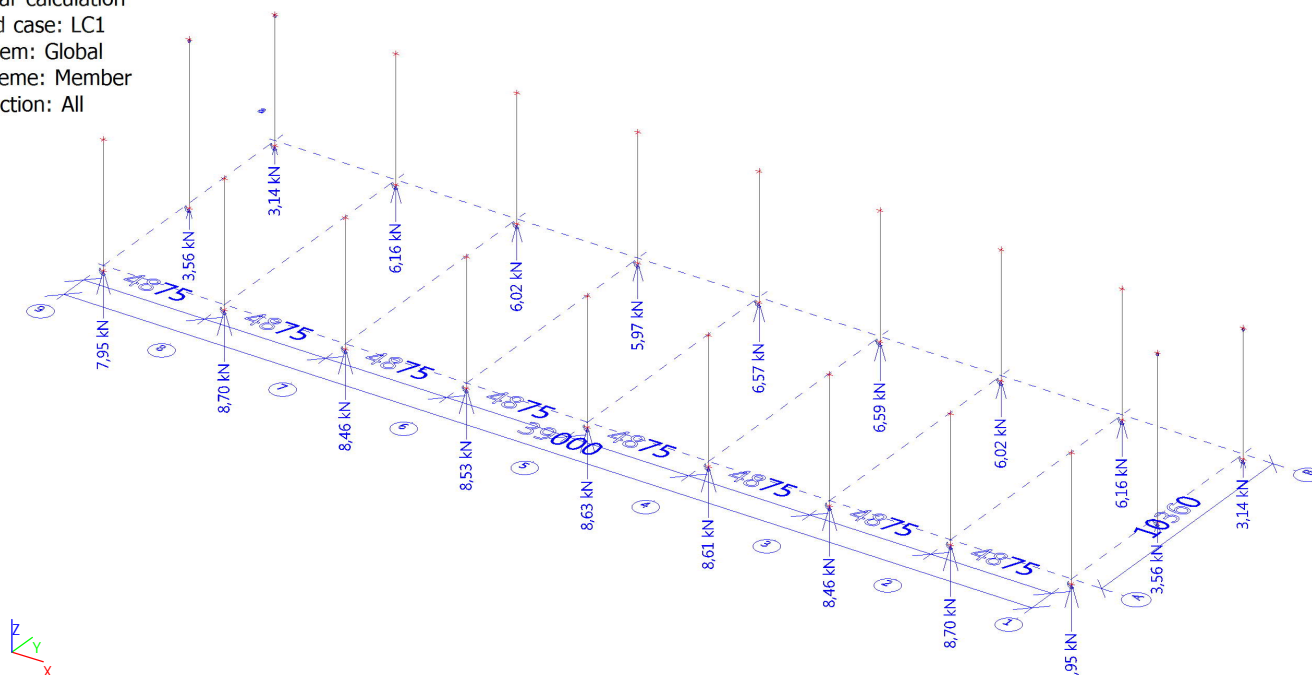
Linear calculation

Load case: LC1

System: Global

Extreme: Member

Selection: All



Reakce od LC1

Linear calculation

Load case: LC1

System: Global

Extreme: Member

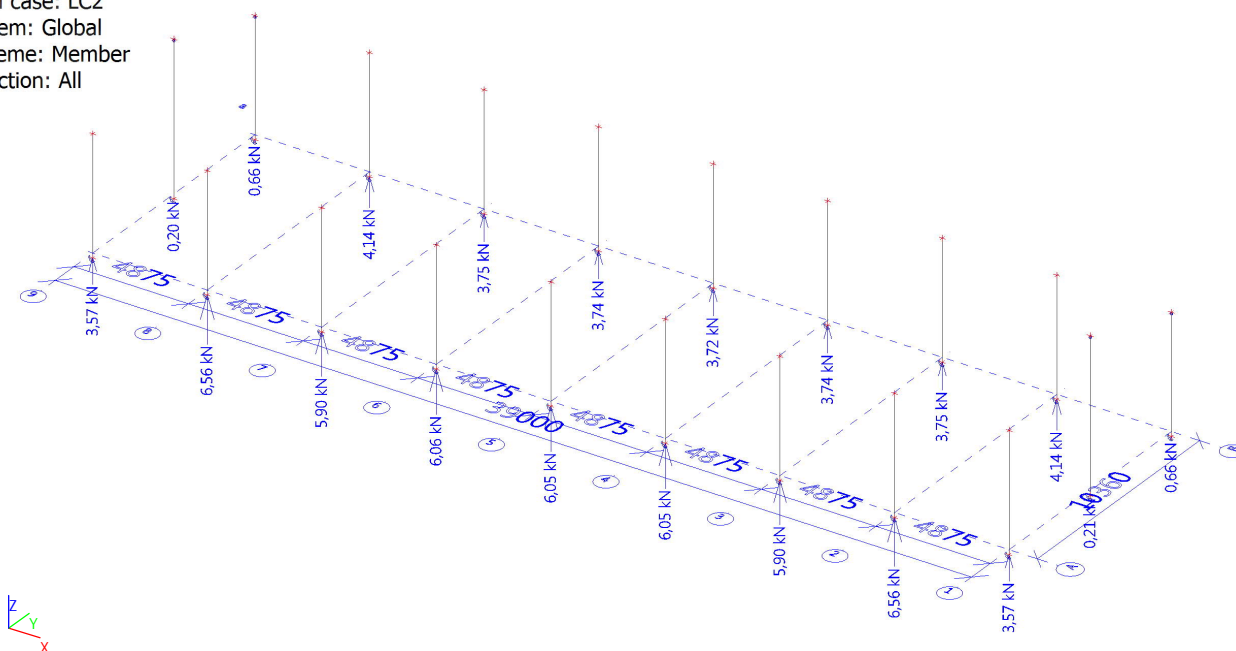
Selection: Sn1..Sn20

Nodal reactions

Name	Case	R _x [kN]	R _y [kN]	R _z [kN]	M _x [kNm]	M _y [kNm]	M _z [kNm]	e _x [mm]	e _y [mm]
Sn1/N1	LC1	0,00	0,95	7,95	0,00	0,00	0,00	0,0	0,0
Sn2/N3	LC1	0,00	0,00	3,14	0,00	0,00	0,00	0,0	0,0
Sn3/N7	LC1	0,00	0,46	8,70	0,00	0,00	0,00	0,0	0,0
Sn4/N9	LC1	0,00	-1,01	6,16	0,00	0,00	0,00	0,0	0,0
Sn5/N13	LC1	0,00	0,56	8,46	0,00	0,00	0,00	0,0	0,0
Sn6/N15	LC1	0,00	-0,98	6,02	0,00	0,00	0,00	0,0	0,0
Sn7/N19	LC1	0,00	0,57	8,53	0,00	0,00	0,00	0,0	0,0
Sn8/N21	LC1	0,00	-0,93	5,97	0,00	0,00	0,00	0,0	0,0
Sn9/N25	LC1	0,00	0,57	8,63	0,00	0,00	0,00	0,0	0,0
Sn10/N27	LC1	0,47	-0,93	6,57	0,00	0,00	0,00	0,0	0,0
Sn11/N31	LC1	0,00	0,56	8,61	0,00	0,00	0,00	0,0	0,0
Sn12/N33	LC1	-0,47	-0,94	6,59	0,00	0,00	0,00	0,0	0,0
Sn13/N37	LC1	0,00	0,56	8,46	0,00	0,00	0,00	0,0	0,0
Sn14/N39	LC1	0,00	-0,98	6,02	0,00	0,00	0,00	0,0	0,0
Sn15/N43	LC1	0,00	0,46	8,70	0,00	0,00	0,00	0,0	0,0
Sn16/N45	LC1	0,00	-1,01	6,16	0,00	0,00	0,00	0,0	0,0
Sn17/N49	LC1	0,00	0,95	7,95	0,00	0,00	0,00	0,0	0,0
Sn18/N51	LC1	0,00	0,00	3,14	0,00	0,00	0,00	0,0	0,0
Sn19/N55	LC1	0,00	0,57	3,56	0,00	0,00	0,00	0,0	0,0
Sn20/N56	LC1	0,00	0,57	3,56	0,00	0,00	0,00	0,0	0,0

LC2-stálé - Reakce Rz

Values: R_z
Linear calculation
Load case: LC2
System: Global
Extreme: Member
Selection: All



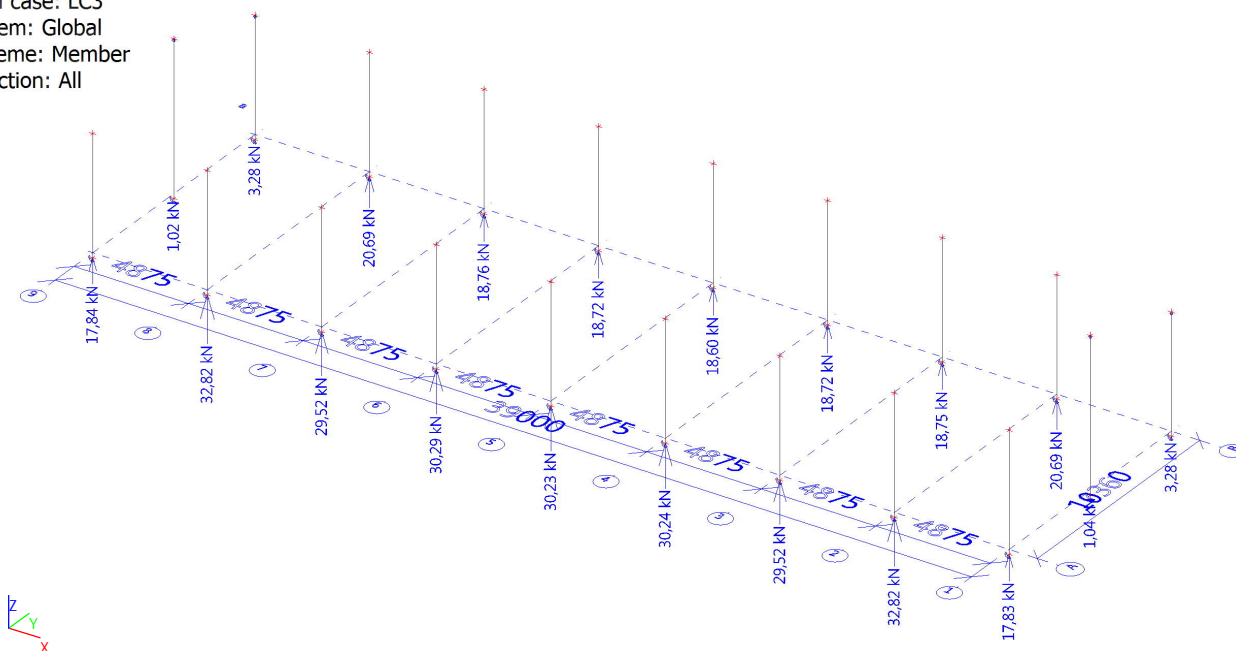
Reakce od LC2

Linear calculation
Load case: LC2
System: Global
Extreme: Member
Selection: Sn1..Sn20
Nodal reactions

Name	Case	R _x [kN]	R _y [kN]	R _z [kN]	M _x [kNm]	M _y [kNm]	M _z [kNm]	e _x [mm]	e _y [mm]
Sn1/N1	LC2	0,00	0,67	3,57	0,00	0,00	0,00	0,0	0,0
Sn2/N3	LC2	0,00	0,00	0,66	0,00	0,00	0,00	0,0	0,0
Sn3/N7	LC2	0,00	0,60	6,56	0,00	0,00	0,00	0,0	0,0
Sn4/N9	LC2	0,00	-1,17	4,14	0,00	0,00	0,00	0,0	0,0
Sn5/N13	LC2	0,00	0,67	5,90	0,00	0,00	0,00	0,0	0,0
Sn6/N15	LC2	0,00	-1,07	3,75	0,00	0,00	0,00	0,0	0,0
Sn7/N19	LC2	0,00	0,67	6,06	0,00	0,00	0,00	0,0	0,0
Sn8/N21	LC2	0,00	-1,03	3,74	0,00	0,00	0,00	0,0	0,0
Sn9/N25	LC2	0,00	0,69	6,05	0,00	0,00	0,00	0,0	0,0
Sn10/N27	LC2	0,20	-1,02	3,72	0,00	0,00	-0,01	0,0	0,0
Sn11/N31	LC2	0,00	0,67	6,05	0,00	0,00	0,00	0,0	0,0
Sn12/N33	LC2	-0,20	-1,03	3,74	0,00	0,00	0,00	0,0	0,0
Sn13/N37	LC2	0,00	0,67	5,90	0,00	0,00	0,00	0,0	0,0
Sn14/N39	LC2	0,00	-1,07	3,75	0,00	0,00	0,00	0,0	0,0
Sn15/N43	LC2	0,00	0,60	6,56	0,00	0,00	0,00	0,0	0,0
Sn16/N45	LC2	0,00	-1,17	4,14	0,00	0,00	0,00	0,0	0,0
Sn17/N49	LC2	0,00	0,67	3,57	0,00	0,00	0,00	0,0	0,0
Sn18/N51	LC2	0,00	0,00	0,66	0,00	0,00	0,00	0,0	0,0
Sn19/N55	LC2	0,00	0,82	0,21	0,00	0,00	0,00	0,0	0,0
Sn20/N56	LC2	0,00	0,82	0,20	0,00	0,00	0,00	0,0	0,0

LC3-užitné - Reakce Rz

Values: **R_z**
Linear calculation
Load case: LC3
System: Global
Extreme: Member
Selection: All



Reakce od LC3

Linear calculation
Load case: LC3
System: Global
Extreme: Member
Selection: Sn1..Sn20
Nodal reactions

Name	Case	R _x [kN]	R _y [kN]	R _z [kN]	M _x [kNm]	M _y [kNm]	M _z [kNm]	e _x [mm]	e _y [mm]
Sn1/N1	LC3	0,02	3,34	17,84	0,00	0,00	-0,01	0,0	0,0
Sn2/N3	LC3	0,00	0,00	3,28	0,00	0,00	0,00	0,0	0,0
Sn3/N7	LC3	0,01	3,02	32,82	0,00	0,00	0,00	0,0	0,0
Sn4/N9	LC3	0,00	-5,84	20,69	0,00	0,00	0,00	0,0	0,0
Sn5/N13	LC3	0,01	3,34	29,52	0,00	0,00	0,00	0,0	0,0
Sn6/N15	LC3	0,00	-5,34	18,76	0,00	0,00	0,00	0,0	0,0
Sn7/N19	LC3	0,01	3,37	30,29	0,00	0,00	0,00	0,0	0,0
Sn8/N21	LC3	0,00	-5,15	18,72	0,00	0,00	0,00	0,0	0,0
Sn9/N25	LC3	0,00	3,44	30,23	0,00	0,00	0,00	0,0	0,0
Sn10/N27	LC3	0,99	-5,12	18,60	0,00	0,00	-0,03	0,0	0,0
Sn11/N31	LC3	0,00	3,37	30,24	0,00	0,00	0,00	0,0	0,0
Sn12/N33	LC3	-1,00	-5,14	18,72	0,00	0,00	0,02	0,0	0,0
Sn13/N37	LC3	-0,01	3,34	29,52	0,00	0,00	0,00	0,0	0,0
Sn14/N39	LC3	0,00	-5,33	18,75	0,00	0,00	0,00	0,0	0,0
Sn15/N43	LC3	-0,01	3,02	32,82	0,00	0,00	0,00	0,0	0,0
Sn16/N45	LC3	0,00	-5,84	20,69	0,00	0,00	0,00	0,0	0,0
Sn17/N49	LC3	-0,02	3,34	17,83	0,00	0,00	0,01	0,0	0,0
Sn18/N51	LC3	0,00	0,00	3,28	0,00	0,00	0,00	0,0	0,0
Sn19/N55	LC3	0,00	4,09	1,04	0,00	0,00	0,00	0,0	0,0
Sn20/N56	LC3	0,00	4,10	1,02	0,00	0,00	0,00	0,0	0,0

LC4-sníh I - Reakce Rz

Values: **R_z**

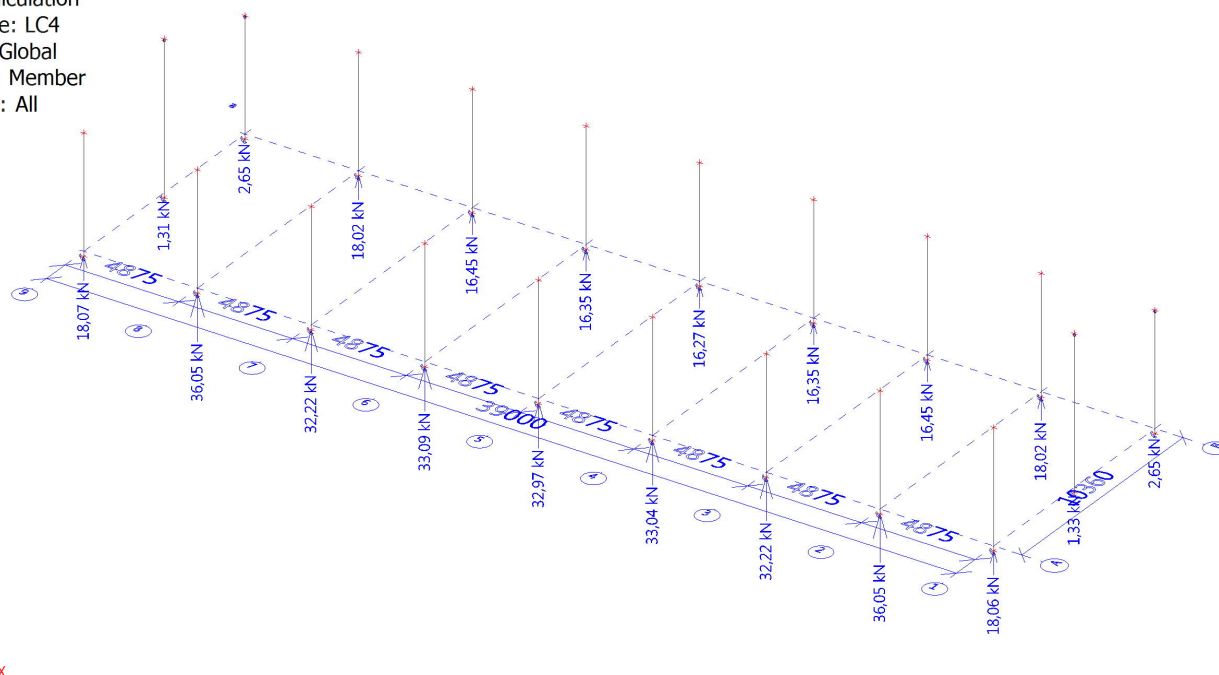
Linear calculation

Load case: LC4

System: Global

Extreme: Member

Selection: All



Reakce od LC4

Linear calculation

Load case: LC4

System: Global

Extreme: Member

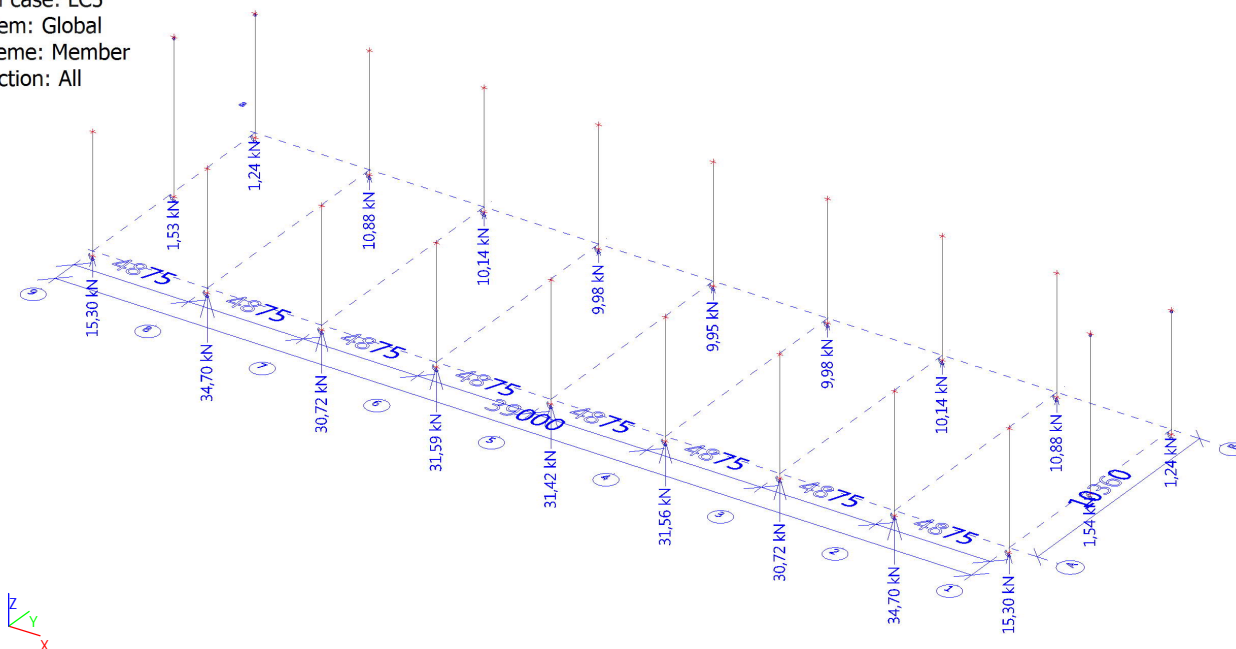
Selection: Sn1..Sn20

Nodal reactions

Name	Case	R _x [kN]	R _y [kN]	R _z [kN]	M _x [kNm]	M _y [kNm]	M _z [kNm]	e _x [mm]	e _y [mm]
Sn1/N1	LC4	0,02	3,02	18,07	0,00	0,00	-0,01	0,0	0,0
Sn2/N3	LC4	0,00	0,00	2,65	0,00	0,00	0,00	0,0	0,0
Sn3/N7	LC4	0,01	2,87	36,05	0,00	0,00	0,00	0,0	0,0
Sn4/N9	LC4	0,00	-5,36	18,02	0,00	0,00	0,00	0,0	0,0
Sn5/N13	LC4	0,01	3,15	32,22	0,00	0,00	0,00	0,0	0,0
Sn6/N15	LC4	0,00	-4,93	16,45	0,00	0,00	0,00	0,0	0,0
Sn7/N19	LC4	0,01	3,18	33,09	0,00	0,00	0,00	0,0	0,0
Sn8/N21	LC4	0,00	-4,75	16,35	0,00	0,00	0,00	0,0	0,0
Sn9/N25	LC4	0,00	3,23	32,97	0,00	0,00	0,00	0,0	0,0
Sn10/N27	LC4	0,86	-4,73	16,27	0,00	0,00	-0,02	0,0	0,0
Sn11/N31	LC4	0,00	3,17	33,04	0,00	0,00	0,00	0,0	0,0
Sn12/N33	LC4	-0,87	-4,74	16,35	0,00	0,00	0,02	0,0	0,0
Sn13/N37	LC4	-0,01	3,15	32,22	0,00	0,00	0,00	0,0	0,0
Sn14/N39	LC4	0,00	-4,92	16,45	0,00	0,00	0,00	0,0	0,0
Sn15/N43	LC4	-0,01	2,87	36,05	0,00	0,00	0,00	0,0	0,0
Sn16/N45	LC4	0,00	-5,36	18,02	0,00	0,00	0,00	0,0	0,0
Sn17/N49	LC4	-0,01	3,02	18,06	0,00	0,00	0,01	0,0	0,0
Sn18/N51	LC4	0,00	0,00	2,65	0,00	0,00	0,00	0,0	0,0
Sn19/N55	LC4	0,00	3,56	1,33	0,00	0,00	0,00	0,0	0,0
Sn20/N56	LC4	0,00	3,56	1,31	0,00	0,00	0,00	0,0	0,0

LC5-sníh II - Reakce Rz

Values: **R_z**
Linear calculation
Load case: LC5
System: Global
Extreme: Member
Selection: All



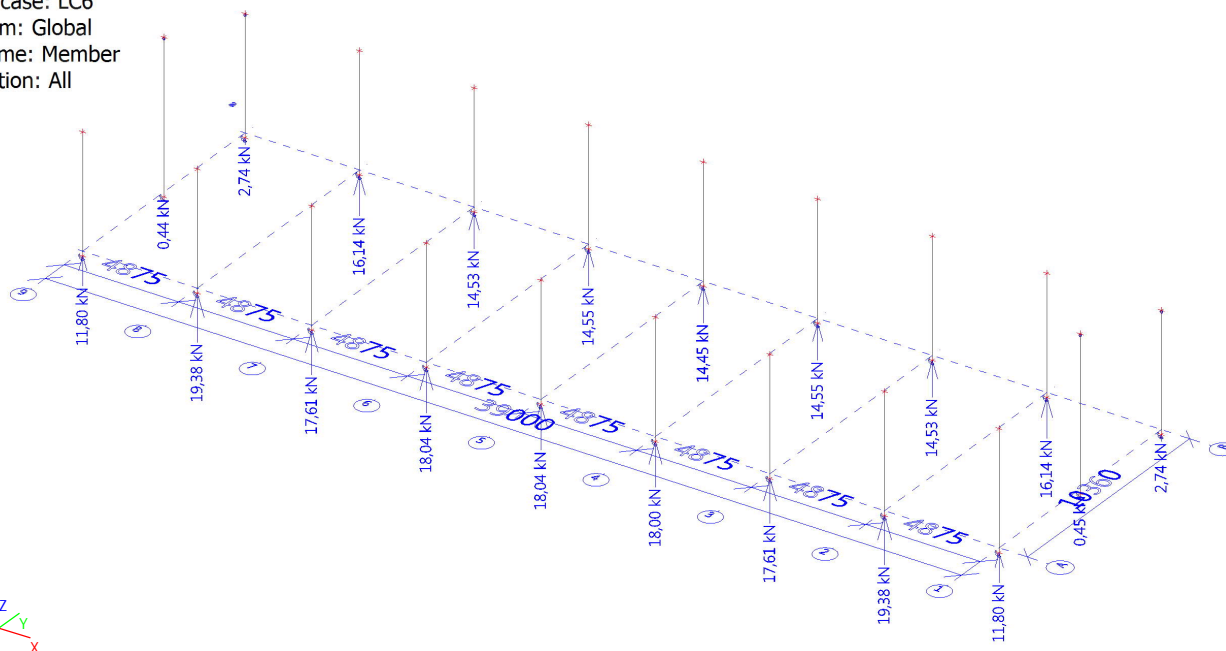
Reakce od LC5

Linear calculation
Load case: LC5
System: Global
Extreme: Member
Selection: Sn1..Sn20
Nodal reactions

Name	Case	R _x [kN]	R _y [kN]	R _z [kN]	M _x [kNm]	M _y [kNm]	M _z [kNm]	e _x [mm]	e _y [mm]
Sn1/N1	LC5	0,01	2,03	15,30	0,00	0,00	-0,01	0,0	0,0
Sn2/N3	LC5	0,00	0,00	1,24	0,00	0,00	0,00	0,0	0,0
Sn3/N7	LC5	0,01	2,15	34,70	0,00	0,00	0,00	0,0	0,0
Sn4/N9	LC5	0,00	-3,70	10,88	0,00	0,00	0,00	0,0	0,0
Sn5/N13	LC5	0,01	2,32	30,72	0,00	0,00	0,00	0,0	0,0
Sn6/N15	LC5	0,00	-3,46	10,14	0,00	0,00	0,00	0,0	0,0
Sn7/N19	LC5	0,00	2,33	31,59	0,00	0,00	0,00	0,0	0,0
Sn8/N21	LC5	0,00	-3,32	9,98	0,00	0,00	0,00	0,0	0,0
Sn9/N25	LC5	0,00	2,36	31,42	0,00	0,00	0,00	0,0	0,0
Sn10/N27	LC5	0,52	-3,31	9,95	0,00	0,00	-0,02	0,0	0,0
Sn11/N31	LC5	0,00	2,32	31,56	0,00	0,00	0,00	0,0	0,0
Sn12/N33	LC5	-0,53	-3,32	9,98	0,00	0,00	0,02	0,0	0,0
Sn13/N37	LC5	0,00	2,32	30,72	0,00	0,00	0,00	0,0	0,0
Sn14/N39	LC5	0,00	-3,46	10,14	0,00	0,00	0,00	0,0	0,0
Sn15/N43	LC5	-0,01	2,15	34,70	0,00	0,00	0,00	0,0	0,0
Sn16/N45	LC5	0,00	-3,70	10,88	0,00	0,00	0,00	0,0	0,0
Sn17/N49	LC5	-0,01	2,02	15,30	0,00	0,00	0,01	0,0	0,0
Sn18/N51	LC5	0,00	0,00	1,24	0,00	0,00	0,00	0,0	0,0
Sn19/N55	LC5	0,00	2,14	1,54	0,00	0,00	0,00	0,0	0,0
Sn20/N56	LC5	0,00	2,15	1,53	0,00	0,00	0,00	0,0	0,0

LC6-sníh III - Reakce Rz

Values: **R_z**
Linear calculation
Load case: LC6
System: Global
Extreme: Member
Selection: All



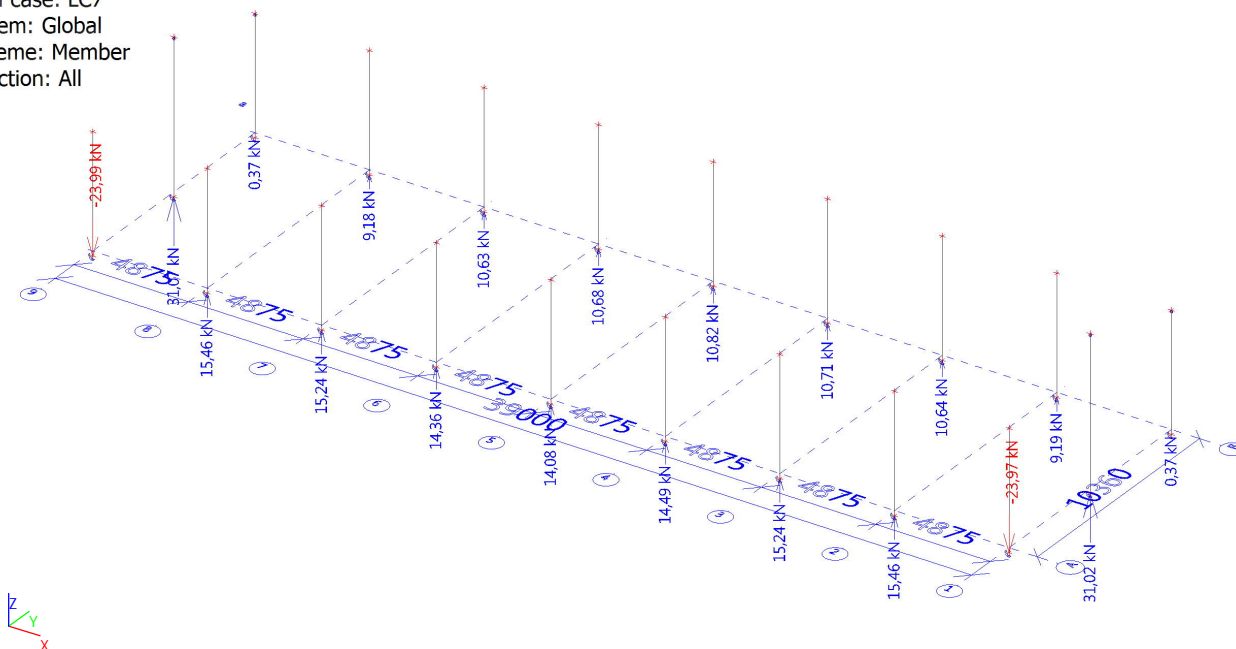
Reakce od LC6

Linear calculation
Load case: LC6
System: Global
Extreme: Member
Selection: Sn1..Sn20
Nodal reactions

Name	Case	R _x [kN]	R _y [kN]	R _z [kN]	M _x [kNm]	M _y [kNm]	M _z [kNm]	e _x [mm]	e _y [mm]
Sn1/N1	LC6	0,01	2,51	11,80	0,00	0,00	-0,01	0,0	0,0
Sn2/N3	LC6	0,00	0,00	2,74	0,00	0,00	0,00	0,0	0,0
Sn3/N7	LC6	0,01	2,16	19,38	0,00	0,00	0,00	0,0	0,0
Sn4/N9	LC6	0,00	-4,33	16,14	0,00	0,00	0,00	0,0	0,0
Sn5/N13	LC6	0,01	2,40	17,61	0,00	0,00	0,00	0,0	0,0
Sn6/N15	LC6	0,00	-3,93	14,53	0,00	0,00	0,00	0,0	0,0
Sn7/N19	LC6	0,00	2,43	18,04	0,00	0,00	0,00	0,0	0,0
Sn8/N21	LC6	0,00	-3,80	14,55	0,00	0,00	0,00	0,0	0,0
Sn9/N25	LC6	0,00	2,48	18,04	0,00	0,00	0,00	0,0	0,0
Sn10/N27	LC6	0,77	-3,77	14,45	0,00	0,00	-0,02	0,0	0,0
Sn11/N31	LC6	0,00	2,43	18,00	0,00	0,00	0,00	0,0	0,0
Sn12/N33	LC6	-0,78	-3,79	14,55	0,00	0,00	0,02	0,0	0,0
Sn13/N37	LC6	-0,01	2,40	17,61	0,00	0,00	0,00	0,0	0,0
Sn14/N39	LC6	0,00	-3,93	14,53	0,00	0,00	0,00	0,0	0,0
Sn15/N43	LC6	-0,01	2,16	19,38	0,00	0,00	0,00	0,0	0,0
Sn16/N45	LC6	0,00	-4,33	16,14	0,00	0,00	0,00	0,0	0,0
Sn17/N49	LC6	-0,01	2,51	11,80	0,00	0,00	0,01	0,0	0,0
Sn18/N51	LC6	0,00	0,00	2,74	0,00	0,00	0,00	0,0	0,0
Sn19/N55	LC6	0,00	3,20	0,45	0,00	0,00	0,00	0,0	0,0
Sn20/N56	LC6	0,00	3,20	0,44	0,00	0,00	0,00	0,0	0,0

LC7-vítr 1a - Reakce Rz

Values: **R_z**
Linear calculation
Load case: LC7
System: Global
Extreme: Member
Selection: All



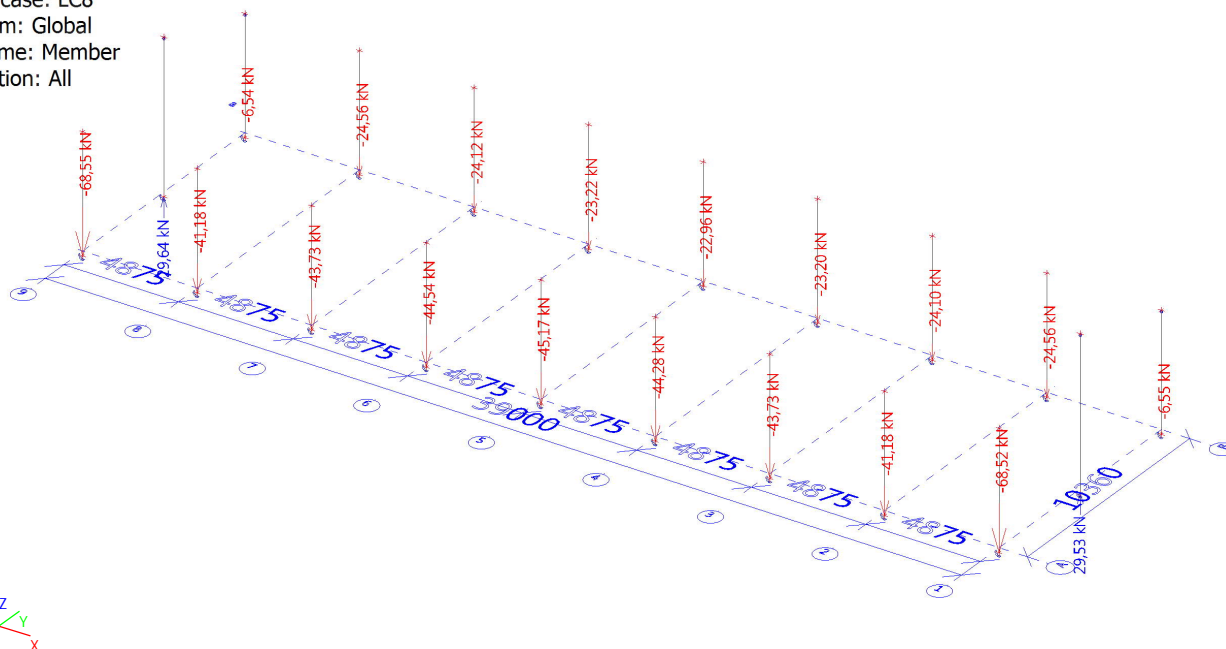
Reakce od LC7

Linear calculation
Load case: LC7
System: Global
Extreme: Member
Selection: Sn1..Sn20
Nodal reactions

Name	Case	R _x [kN]	R _y [kN]	R _z [kN]	M _x [kNm]	M _y [kNm]	M _z [kNm]	e _x [mm]	e _y [mm]
Sn1/N1	LC7	5,46	-9,36	-23,99	0,00	0,00	-0,03	0,0	0,0
Sn2/N3	LC7	5,59	-2,49	0,37	0,00	0,00	0,00	0,0	0,0
Sn3/N7	LC7	-0,04	1,55	15,46	0,00	0,00	0,00	0,0	0,0
Sn4/N9	LC7	0,00	-9,53	9,18	0,00	0,00	0,00	0,0	0,0
Sn5/N13	LC7	-0,03	1,19	15,24	0,00	0,00	0,00	0,0	0,0
Sn6/N15	LC7	0,00	-10,44	10,63	0,00	0,00	0,00	0,0	0,0
Sn7/N19	LC7	-0,02	0,65	14,36	0,00	0,00	0,00	0,0	0,0
Sn8/N21	LC7	0,00	-10,63	10,68	0,00	0,00	0,00	0,0	0,0
Sn9/N25	LC7	0,00	0,49	14,08	0,00	0,00	0,00	0,0	0,0
Sn10/N27	LC7	0,22	-10,74	10,82	0,00	0,00	-0,04	0,0	0,0
Sn11/N31	LC7	0,01	0,66	14,49	0,00	0,00	0,00	0,0	0,0
Sn12/N33	LC7	-0,19	-10,66	10,71	0,00	0,00	0,04	0,0	0,0
Sn13/N37	LC7	0,02	1,19	15,24	0,00	0,00	0,00	0,0	0,0
Sn14/N39	LC7	0,00	-10,44	10,64	0,00	0,00	0,00	0,0	0,0
Sn15/N43	LC7	0,03	1,55	15,46	0,00	0,00	0,00	0,0	0,0
Sn16/N45	LC7	0,00	-9,53	9,19	0,00	0,00	0,00	0,0	0,0
Sn17/N49	LC7	-5,46	-9,35	-23,97	0,00	0,00	0,03	0,0	0,0
Sn18/N51	LC7	-5,59	-2,49	0,37	0,00	0,00	0,00	0,0	0,0
Sn19/N55	LC7	-14,66	-14,13	31,02	0,00	0,00	-0,09	0,0	0,0
Sn20/N56	LC7	14,66	-14,14	31,07	0,00	0,00	0,09	0,0	0,0

LC8-vítr 1b - Reakce Rz

Values: R_z
Linear calculation
Load case: LC8
System: Global
Extreme: Member
Selection: All



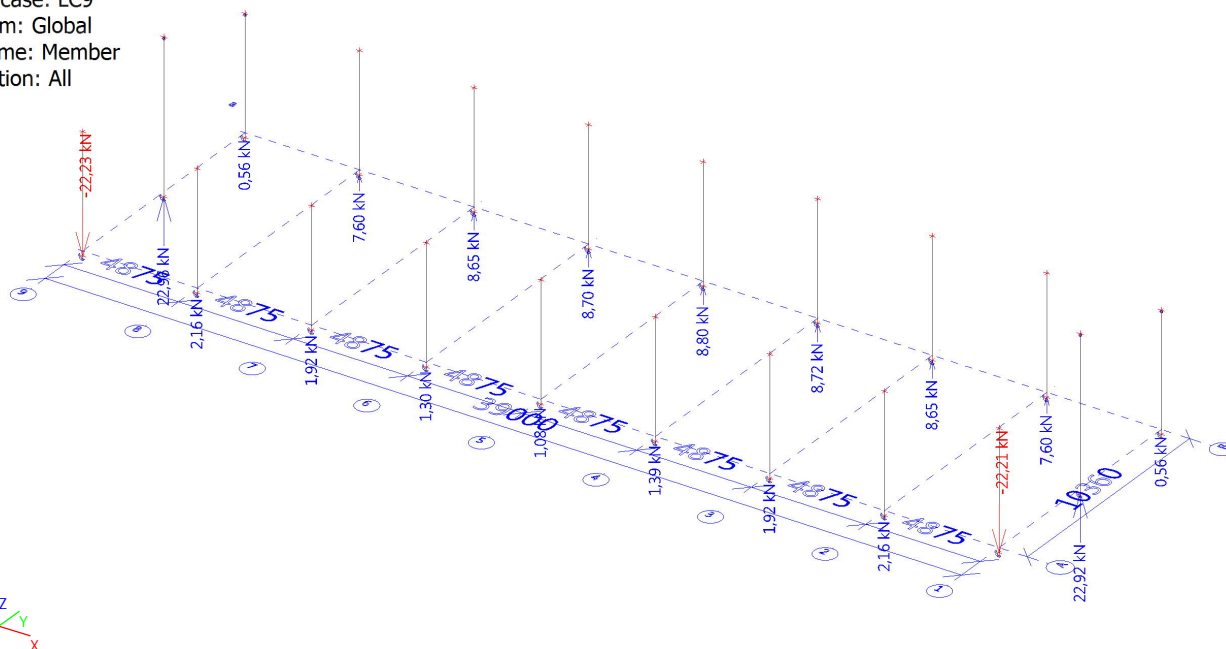
Reakce od LC8

Linear calculation
Load case: LC8
System: Global
Extreme: Member
Selection: Sn1..Sn20
Nodal reactions

Name	Case	R _x [kN]	R _y [kN]	R _z [kN]	M _x [kNm]	M _y [kNm]	M _z [kNm]	e _x [mm]	e _y [mm]
Sn1/N1	LC8	5,42	-18,42	-68,55	0,00	0,00	-0,02	0,0	0,0
Sn2/N3	LC8	5,59	-2,49	-6,54	0,00	0,00	0,00	0,0	0,0
Sn3/N7	LC8	-0,07	-4,74	-41,18	0,00	0,00	0,00	0,0	0,0
Sn4/N9	LC8	0,00	1,01	-24,56	0,00	0,00	0,00	0,0	0,0
Sn5/N13	LC8	-0,05	-6,36	-43,73	0,00	0,00	0,00	0,0	0,0
Sn6/N15	LC8	0,00	0,31	-24,12	0,00	0,00	0,00	0,0	0,0
Sn7/N19	LC8	-0,03	-7,08	-44,54	0,00	0,00	0,00	0,0	0,0
Sn8/N21	LC8	0,00	-0,42	-23,22	0,00	0,00	0,00	0,0	0,0
Sn9/N25	LC8	-0,01	-7,37	-45,17	0,00	0,00	0,00	0,0	0,0
Sn10/N27	LC8	-1,51	-0,61	-22,96	0,00	0,00	0,01	0,0	0,0
Sn11/N31	LC8	0,02	-7,06	-44,28	0,00	0,00	0,00	0,0	0,0
Sn12/N33	LC8	1,57	-0,47	-23,20	0,00	0,00	-0,01	0,0	0,0
Sn13/N37	LC8	0,04	-6,36	-43,73	0,00	0,00	0,00	0,0	0,0
Sn14/N39	LC8	0,00	0,30	-24,10	0,00	0,00	0,00	0,0	0,0
Sn15/N43	LC8	0,06	-4,74	-41,18	0,00	0,00	0,00	0,0	0,0
Sn16/N45	LC8	0,00	1,01	-24,56	0,00	0,00	0,00	0,0	0,0
Sn17/N49	LC8	-5,43	-18,41	-68,52	0,00	0,00	0,02	0,0	0,0
Sn18/N51	LC8	-5,59	-2,49	-6,55	0,00	0,00	0,00	0,0	0,0
Sn19/N55	LC8	-14,67	-24,02	29,53	0,00	0,00	-0,09	0,0	0,0
Sn20/N56	LC8	14,67	-24,05	29,64	0,00	0,00	0,09	0,0	0,0

LC9-vítr 1c - Reakce Rz

Values: **R_z**
Linear calculation
Load case: LC9
System: Global
Extreme: Member
Selection: All



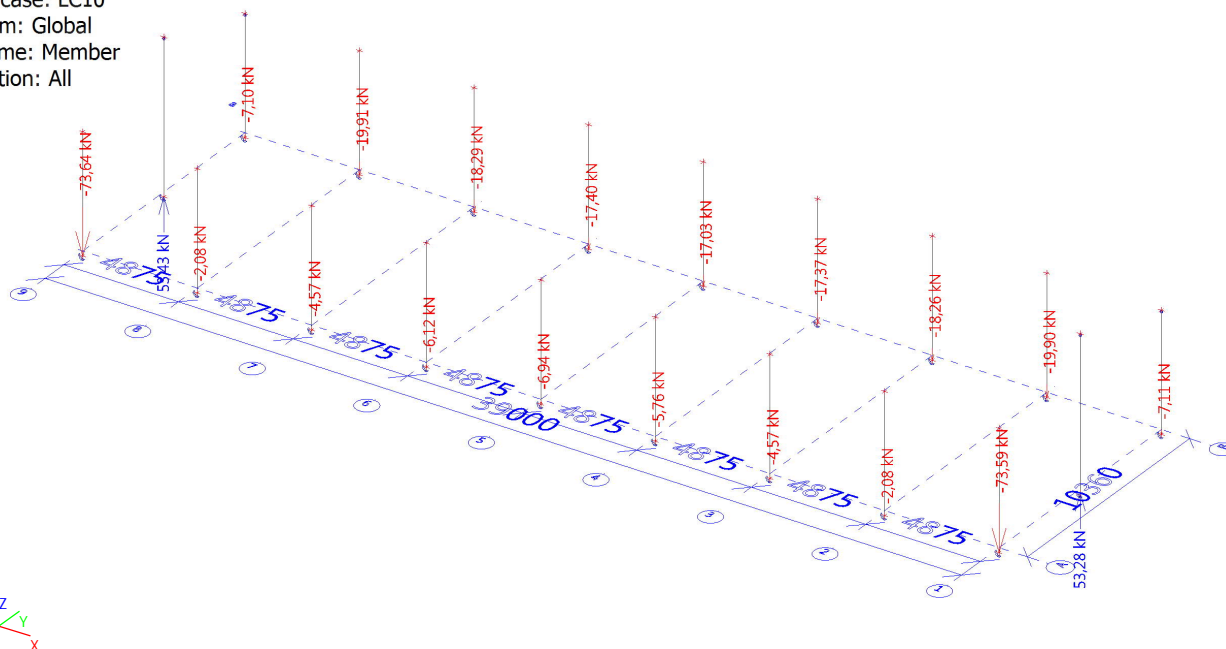
Reakce od LC9

Linear calculation
Load case: LC9
System: Global
Extreme: Member
Selection: Sn1..Sn20
Nodal reactions

Name	Case	R _x [kN]	R _y [kN]	R _z [kN]	M _x [kNm]	M _y [kNm]	M _z [kNm]	e _x [mm]	e _y [mm]
Sn1/N1	LC9	5,47	-7,20	-22,23	0,00	0,00	-0,03	0,0	0,0
Sn2/N3	LC9	5,59	-2,49	0,56	0,00	0,00	0,00	0,0	0,0
Sn3/N7	LC9	-0,03	0,78	2,16	0,00	0,00	0,00	0,0	0,0
Sn4/N9	LC9	0,00	-8,49	7,60	0,00	0,00	0,00	0,0	0,0
Sn5/N13	LC9	-0,02	0,51	1,92	0,00	0,00	0,00	0,0	0,0
Sn6/N15	LC9	0,00	-9,16	8,65	0,00	0,00	0,00	0,0	0,0
Sn7/N19	LC9	-0,01	0,10	1,30	0,00	0,00	0,00	0,0	0,0
Sn8/N21	LC9	0,00	-9,31	8,70	0,00	0,00	0,00	0,0	0,0
Sn9/N25	LC9	0,00	-0,02	1,08	0,00	0,00	0,00	0,0	0,0
Sn10/N27	LC9	0,07	-9,38	8,80	0,00	0,00	-0,03	0,0	0,0
Sn11/N31	LC9	0,01	0,11	1,39	0,00	0,00	0,00	0,0	0,0
Sn12/N33	LC9	-0,04	-9,33	8,72	0,00	0,00	0,04	0,0	0,0
Sn13/N37	LC9	0,01	0,51	1,92	0,00	0,00	0,00	0,0	0,0
Sn14/N39	LC9	0,00	-9,16	8,65	0,00	0,00	0,00	0,0	0,0
Sn15/N43	LC9	0,02	0,78	2,16	0,00	0,00	0,00	0,0	0,0
Sn16/N45	LC9	0,00	-8,49	7,60	0,00	0,00	0,00	0,0	0,0
Sn17/N49	LC9	-5,47	-7,19	-22,21	0,00	0,00	0,04	0,0	0,0
Sn18/N51	LC9	-5,59	-2,49	0,56	0,00	0,00	0,00	0,0	0,0
Sn19/N55	LC9	-14,66	-10,18	22,92	0,00	0,00	-0,09	0,0	0,0
Sn20/N56	LC9	14,66	-10,20	22,96	0,00	0,00	0,09	0,0	0,0

LC10-vítr 1d - Reakce Rz

Values: **R_z**
Linear calculation
Load case: LC10
System: Global
Extreme: Member
Selection: All



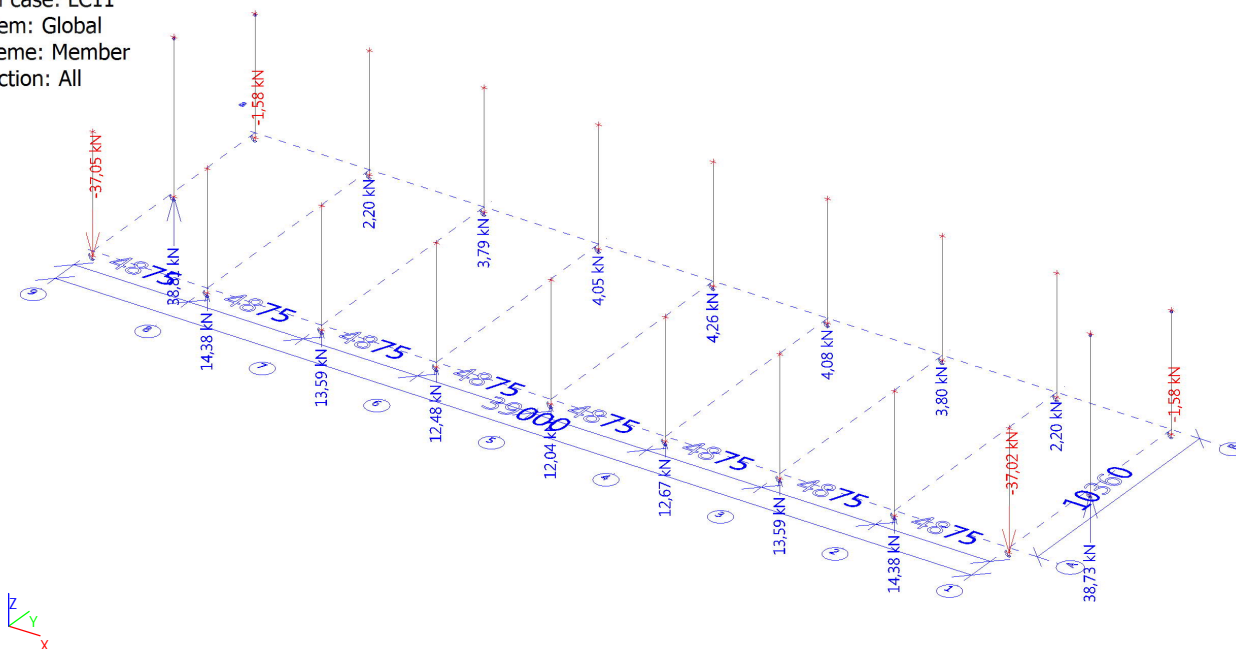
Reakce od LC10

Linear calculation
Load case: LC10
System: Global
Extreme: Member
Selection: Sn1..Sn20
Nodal reactions

Name	Case	R _x [kN]	R _y [kN]	R _z [kN]	M _x [kNm]	M _y [kNm]	M _z [kNm]	e _x [mm]	e _y [mm]
Sn1/N1	LC10	5,39	-24,75	-73,64	0,00	0,00	-0,01	0,0	0,0
Sn2/N3	LC10	5,59	-2,49	-7,10	0,00	0,00	0,00	0,0	0,0
Sn3/N7	LC10	-0,10	-2,48	-2,08	0,00	0,00	0,00	0,0	0,0
Sn4/N9	LC10	0,00	-2,05	-19,91	0,00	0,00	0,00	0,0	0,0
Sn5/N13	LC10	-0,07	-4,36	-4,57	0,00	0,00	0,00	0,0	0,0
Sn6/N15	LC10	0,00	-3,45	-18,29	0,00	0,00	0,00	0,0	0,0
Sn7/N19	LC10	-0,04	-5,48	-6,12	0,00	0,00	0,00	0,0	0,0
Sn8/N21	LC10	0,00	-4,31	-17,40	0,00	0,00	0,00	0,0	0,0
Sn9/N25	LC10	-0,01	-5,88	-6,94	0,00	0,00	0,00	0,0	0,0
Sn10/N27	LC10	-1,06	-4,58	-17,03	0,00	0,00	-0,01	0,0	0,0
Sn11/N31	LC10	0,02	-5,44	-5,76	0,00	0,00	0,00	0,0	0,0
Sn12/N33	LC10	1,15	-4,38	-17,37	0,00	0,00	0,01	0,0	0,0
Sn13/N37	LC10	0,05	-4,36	-4,57	0,00	0,00	0,00	0,0	0,0
Sn14/N39	LC10	0,00	-3,47	-18,26	0,00	0,00	0,00	0,0	0,0
Sn15/N43	LC10	0,08	-2,49	-2,08	0,00	0,00	0,00	0,0	0,0
Sn16/N45	LC10	0,00	-2,06	-19,90	0,00	0,00	0,00	0,0	0,0
Sn17/N49	LC10	-5,40	-24,73	-73,59	0,00	0,00	0,02	0,0	0,0
Sn18/N51	LC10	-5,59	-2,49	-7,11	0,00	0,00	0,01	0,0	0,0
Sn19/N55	LC10	-14,67	-35,58	53,28	0,00	0,00	-0,09	0,0	0,0
Sn20/N56	LC10	14,67	-35,62	53,43	0,00	0,00	0,09	0,0	0,0

LC11-vítr 1e - Reakce Rz

Values: R_z
Linear calculation
Load case: LC11
System: Global
Extreme: Member
Selection: All



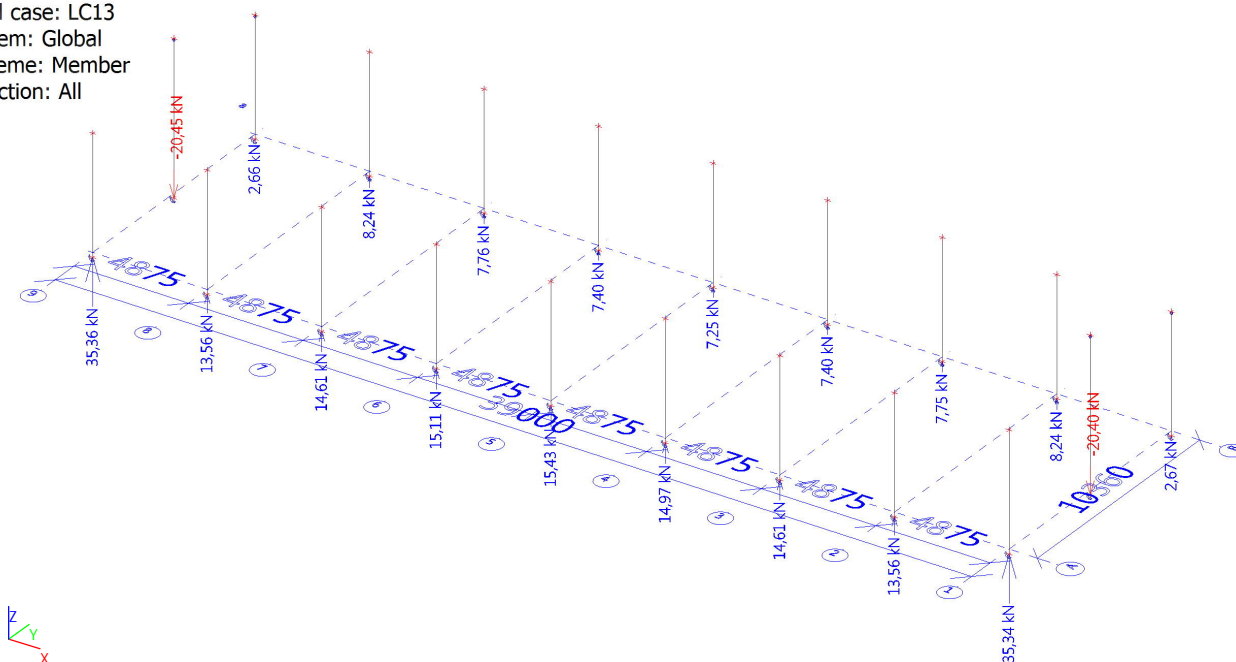
Reakce od LC11

Linear calculation
Load case: LC11
System: Global
Extreme: Member
Selection: Sn1..Sn20
Nodal reactions

Name	Case	R _x [kN]	R _y [kN]	R _z [kN]	M _x [kNm]	M _y [kNm]	M _z [kNm]	e _x [mm]	e _y [mm]
Sn1/N1	LC11	5,44	-13,81	-37,05	0,00	0,00	-0,02	0,0	0,0
Sn2/N3	LC11	5,59	-2,49	-1,58	0,00	0,00	0,00	0,0	0,0
Sn3/N7	LC11	-0,06	0,72	14,38	0,00	0,00	0,00	0,0	0,0
Sn4/N9	LC11	0,00	-7,90	2,20	0,00	0,00	0,00	0,0	0,0
Sn5/N13	LC11	-0,04	-0,04	13,59	0,00	0,00	0,00	0,0	0,0
Sn6/N15	LC11	0,00	-8,99	3,79	0,00	0,00	0,00	0,0	0,0
Sn7/N19	LC11	-0,02	-0,77	12,48	0,00	0,00	0,00	0,0	0,0
Sn8/N21	LC11	0,00	-9,37	4,05	0,00	0,00	0,00	0,0	0,0
Sn9/N25	LC11	-0,01	-1,00	12,04	0,00	0,00	0,00	0,0	0,0
Sn10/N27	LC11	-0,07	-9,52	4,26	0,00	0,00	-0,03	0,0	0,0
Sn11/N31	LC11	0,01	-0,75	12,67	0,00	0,00	0,00	0,0	0,0
Sn12/N33	LC11	0,12	-9,41	4,08	0,00	0,00	0,04	0,0	0,0
Sn13/N37	LC11	0,03	-0,04	13,59	0,00	0,00	0,00	0,0	0,0
Sn14/N39	LC11	0,00	-9,00	3,80	0,00	0,00	0,00	0,0	0,0
Sn15/N43	LC11	0,05	0,72	14,38	0,00	0,00	0,00	0,0	0,0
Sn16/N45	LC11	0,00	-7,90	2,20	0,00	0,00	0,00	0,0	0,0
Sn17/N49	LC11	-5,45	-13,80	-37,02	0,00	0,00	0,03	0,0	0,0
Sn18/N51	LC11	-5,59	-2,49	-1,58	0,00	0,00	0,00	0,0	0,0
Sn19/N55	LC11	-14,67	-20,58	38,73	0,00	0,00	-0,09	0,0	0,0
Sn20/N56	LC11	14,67	-20,60	38,81	0,00	0,00	0,09	0,0	0,0

LC13-vítr 2a - Reakce Rz

Values: **R_z**
Linear calculation
Load case: LC13
System: Global
Extreme: Member
Selection: All



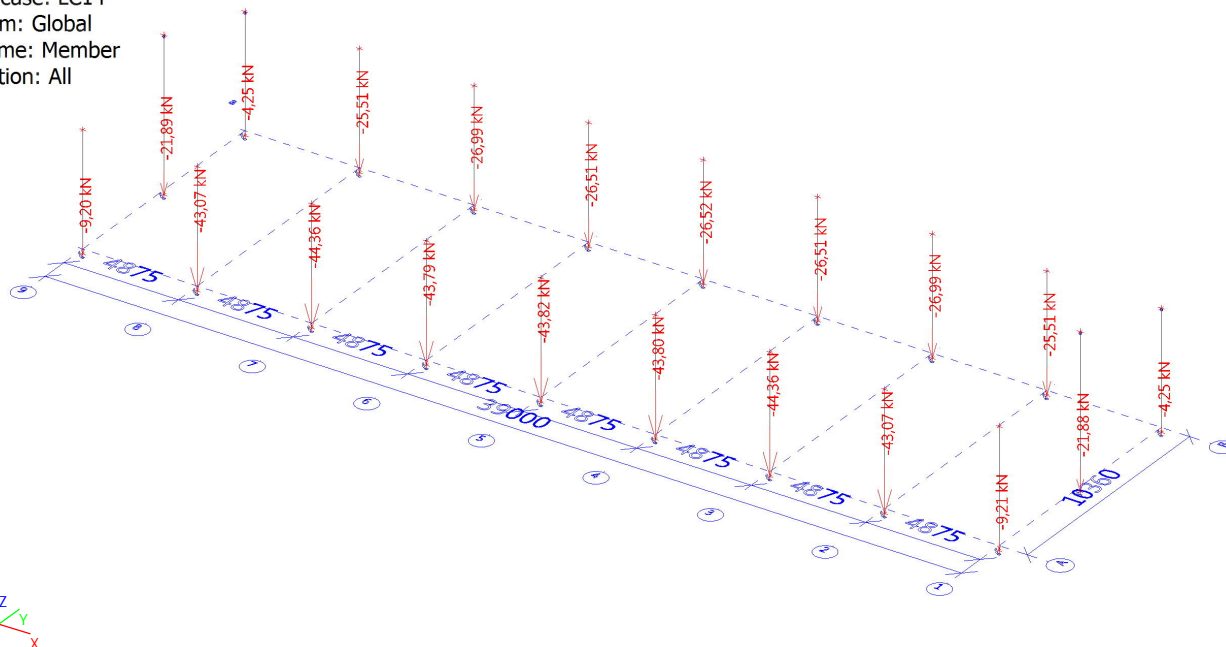
Reakce od LC13

Linear calculation
Load case: LC13
System: Global
Extreme: Member
Selection: Sn1..Sn20
Nodal reactions

Name	Case	R _x [kN]	R _y [kN]	R _z [kN]	M _x [kNm]	M _y [kNm]	M _z [kNm]	e _x [mm]	e _y [mm]
Sn1/N1	LC13	3,88	10,32	35,36	0,00	0,00	-0,04	0,0	0,0
Sn2/N3	LC13	5,85	1,63	2,66	0,00	0,00	0,00	0,0	0,0
Sn3/N7	LC13	0,04	1,55	13,56	0,00	0,00	0,00	0,0	0,0
Sn4/N9	LC13	0,00	1,74	8,24	0,00	0,00	0,00	0,0	0,0
Sn5/N13	LC13	0,03	2,27	14,61	0,00	0,00	0,00	0,0	0,0
Sn6/N15	LC13	0,00	2,20	7,76	0,00	0,00	0,00	0,0	0,0
Sn7/N19	LC13	0,02	2,66	15,11	0,00	0,00	0,00	0,0	0,0
Sn8/N21	LC13	0,00	2,53	7,40	0,00	0,00	0,00	0,0	0,0
Sn9/N25	LC13	0,00	2,81	15,43	0,00	0,00	0,00	0,0	0,0
Sn10/N27	LC13	-0,39	2,63	7,25	0,00	0,00	0,01	0,0	0,0
Sn11/N31	LC13	-0,01	2,65	14,97	0,00	0,00	0,00	0,0	0,0
Sn12/N33	LC13	0,35	2,56	7,40	0,00	0,00	-0,01	0,0	0,0
Sn13/N37	LC13	-0,02	2,27	14,61	0,00	0,00	0,00	0,0	0,0
Sn14/N39	LC13	0,00	2,21	7,75	0,00	0,00	0,00	0,0	0,0
Sn15/N43	LC13	-0,03	1,56	13,56	0,00	0,00	0,00	0,0	0,0
Sn16/N45	LC13	0,00	1,75	8,24	0,00	0,00	0,00	0,0	0,0
Sn17/N49	LC13	-3,88	10,31	35,34	0,00	0,00	0,04	0,0	0,0
Sn18/N51	LC13	-5,85	1,63	2,67	0,00	0,00	0,00	0,0	0,0
Sn19/N55	LC13	-10,22	13,78	-20,40	0,00	0,00	-0,06	0,0	0,0
Sn20/N56	LC13	10,22	13,80	-20,45	0,00	0,00	0,06	0,0	0,0

LC14-vítr 2b - Reakce Rz

Values: R_z
Linear calculation
Load case: LC14
System: Global
Extreme: Member
Selection: All



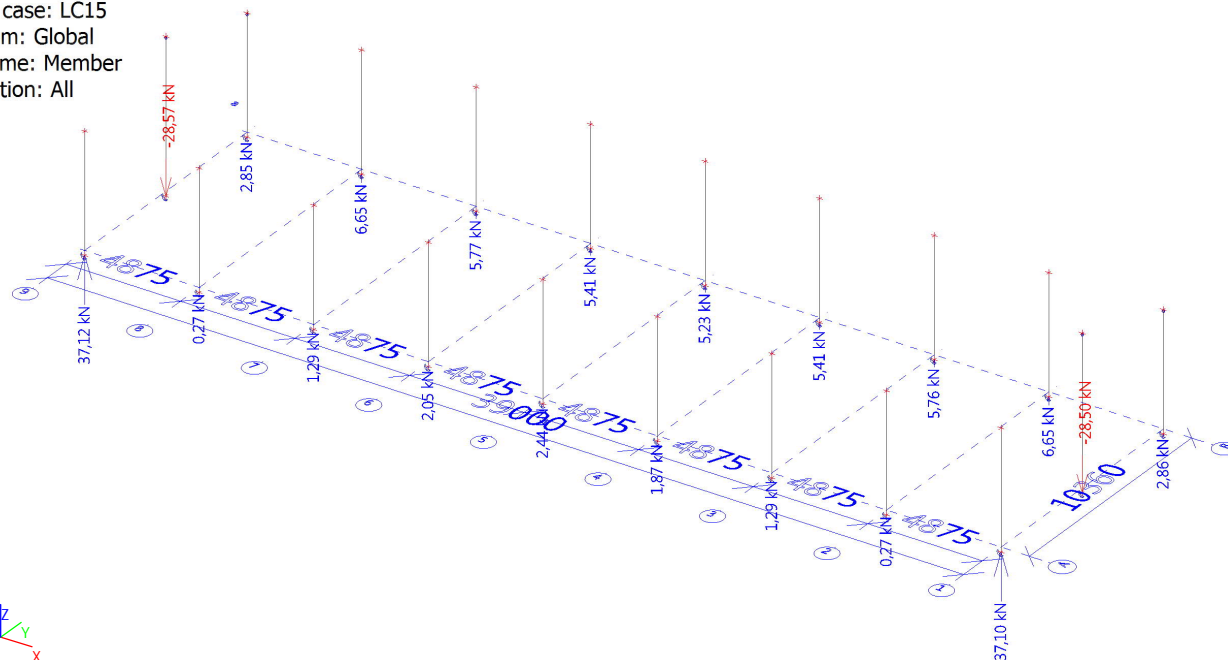
Reakce od LC14

Linear calculation
Load case: LC14
System: Global
Extreme: Member
Selection: Sn1..Sn20
Nodal reactions

Name	Case	R _x [kN]	R _y [kN]	R _z [kN]	M _x [kNm]	M _y [kNm]	M _z [kNm]	e _x [mm]	e _y [mm]
Sn1/N1	LC14	3,84	1,25	-9,20	0,00	0,00	-0,03	0,0	0,0
Sn2/N3	LC14	5,85	1,63	-4,25	0,00	0,00	0,00	0,0	0,0
Sn3/N7	LC14	0,00	-4,74	-43,07	0,00	0,00	0,00	0,0	0,0
Sn4/N9	LC14	0,00	12,28	-25,51	0,00	0,00	0,00	0,0	0,0
Sn5/N13	LC14	0,00	-5,29	-44,36	0,00	0,00	0,00	0,0	0,0
Sn6/N15	LC14	0,00	12,96	-26,99	0,00	0,00	0,00	0,0	0,0
Sn7/N19	LC14	0,00	-5,07	-43,79	0,00	0,00	0,00	0,0	0,0
Sn8/N21	LC14	0,00	12,75	-26,51	0,00	0,00	0,00	0,0	0,0
Sn9/N25	LC14	0,00	-5,05	-43,82	0,00	0,00	0,00	0,0	0,0
Sn10/N27	LC14	-2,11	12,76	-26,52	0,00	0,00	0,06	0,0	0,0
Sn11/N31	LC14	0,00	-5,06	-43,80	0,00	0,00	0,00	0,0	0,0
Sn12/N33	LC14	2,11	12,75	-26,51	0,00	0,00	-0,06	0,0	0,0
Sn13/N37	LC14	0,00	-5,29	-44,36	0,00	0,00	0,00	0,0	0,0
Sn14/N39	LC14	0,00	12,96	-26,99	0,00	0,00	0,00	0,0	0,0
Sn15/N43	LC14	0,00	-4,74	-43,07	0,00	0,00	0,00	0,0	0,0
Sn16/N45	LC14	0,00	12,28	-25,51	0,00	0,00	0,00	0,0	0,0
Sn17/N49	LC14	-3,84	1,25	-9,21	0,00	0,00	0,03	0,0	0,0
Sn18/N51	LC14	-5,85	1,63	-4,25	0,00	0,00	0,00	0,0	0,0
Sn19/N55	LC14	-10,23	3,89	-21,88	0,00	0,00	-0,06	0,0	0,0
Sn20/N56	LC14	10,23	3,89	-21,89	0,00	0,00	0,06	0,0	0,0

LC15-vítr 2c - Reakce Rz

Values: **R_z**
Linear calculation
Load case: LC15
System: Global
Extreme: Member
Selection: All



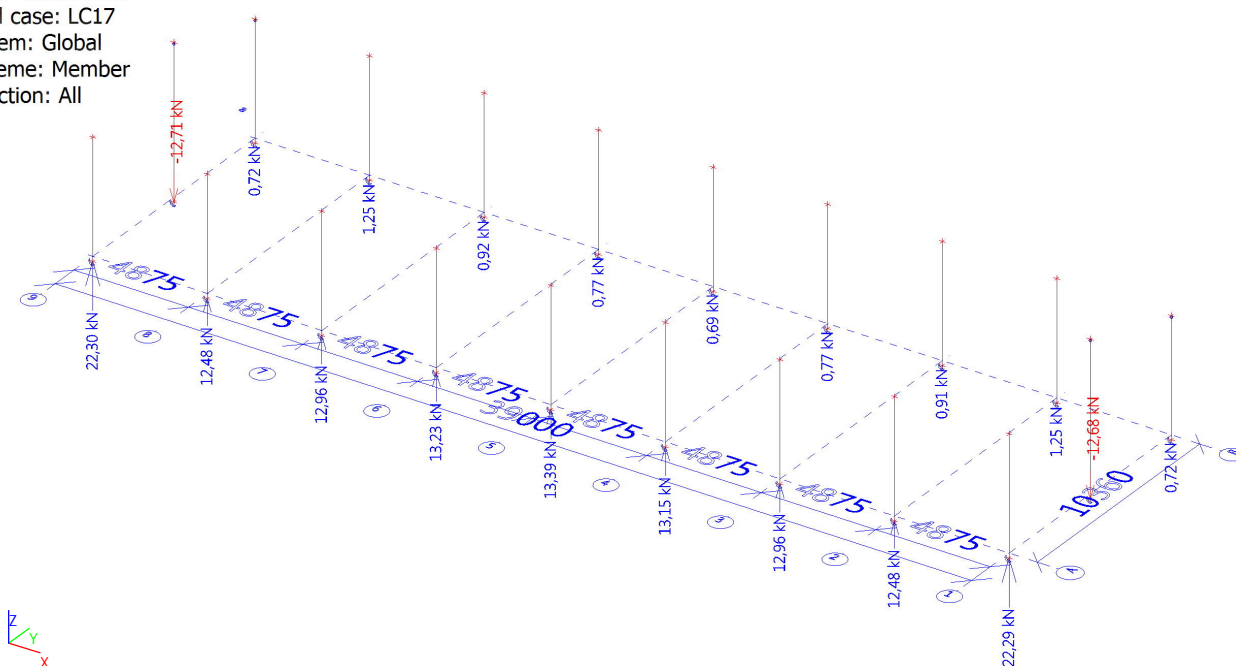
Reakce od LC15

Linear calculation
Load case: LC15
System: Global
Extreme: Member
Selection: Sn1..Sn20
Nodal reactions

Name	Case	R _x [kN]	R _y [kN]	R _z [kN]	M _x [kNm]	M _y [kNm]	M _z [kNm]	e _x [mm]	e _y [mm]
Sn1/N1	LC15	3,89	12,48	37,12	0,00	0,00	-0,05	0,0	0,0
Sn2/N3	LC15	5,85	1,63	2,85	0,00	0,00	0,00	0,0	0,0
Sn3/N7	LC15	0,05	0,78	0,27	0,00	0,00	0,00	0,0	0,0
Sn4/N9	LC15	0,00	2,79	6,65	0,00	0,00	0,00	0,0	0,0
Sn5/N13	LC15	0,04	1,58	1,29	0,00	0,00	0,00	0,0	0,0
Sn6/N15	LC15	0,00	3,49	5,77	0,00	0,00	0,00	0,0	0,0
Sn7/N19	LC15	0,02	2,12	2,05	0,00	0,00	0,00	0,0	0,0
Sn8/N21	LC15	0,00	3,86	5,41	0,00	0,00	0,00	0,0	0,0
Sn9/N25	LC15	0,01	2,30	2,44	0,00	0,00	0,00	0,0	0,0
Sn10/N27	LC15	-0,54	3,98	5,23	0,00	0,00	0,01	0,0	0,0
Sn11/N31	LC15	-0,01	2,10	1,87	0,00	0,00	0,00	0,0	0,0
Sn12/N33	LC15	0,49	3,89	5,41	0,00	0,00	-0,01	0,0	0,0
Sn13/N37	LC15	-0,03	1,58	1,29	0,00	0,00	0,00	0,0	0,0
Sn14/N39	LC15	0,00	3,49	5,76	0,00	0,00	0,00	0,0	0,0
Sn15/N43	LC15	-0,03	0,79	0,27	0,00	0,00	0,00	0,0	0,0
Sn16/N45	LC15	0,00	2,79	6,65	0,00	0,00	0,00	0,0	0,0
Sn17/N49	LC15	-3,88	12,47	37,10	0,00	0,00	0,04	0,0	0,0
Sn18/N51	LC15	-5,85	1,63	2,86	0,00	0,00	0,00	0,0	0,0
Sn19/N55	LC15	-10,22	17,73	-28,50	0,00	0,00	-0,06	0,0	0,0
Sn20/N56	LC15	10,22	17,75	-28,57	0,00	0,00	0,06	0,0	0,0

LC17-vítr 2e - Reakce Rz

Values: R_z
Linear calculation
Load case: LC17
System: Global
Extreme: Member
Selection: All



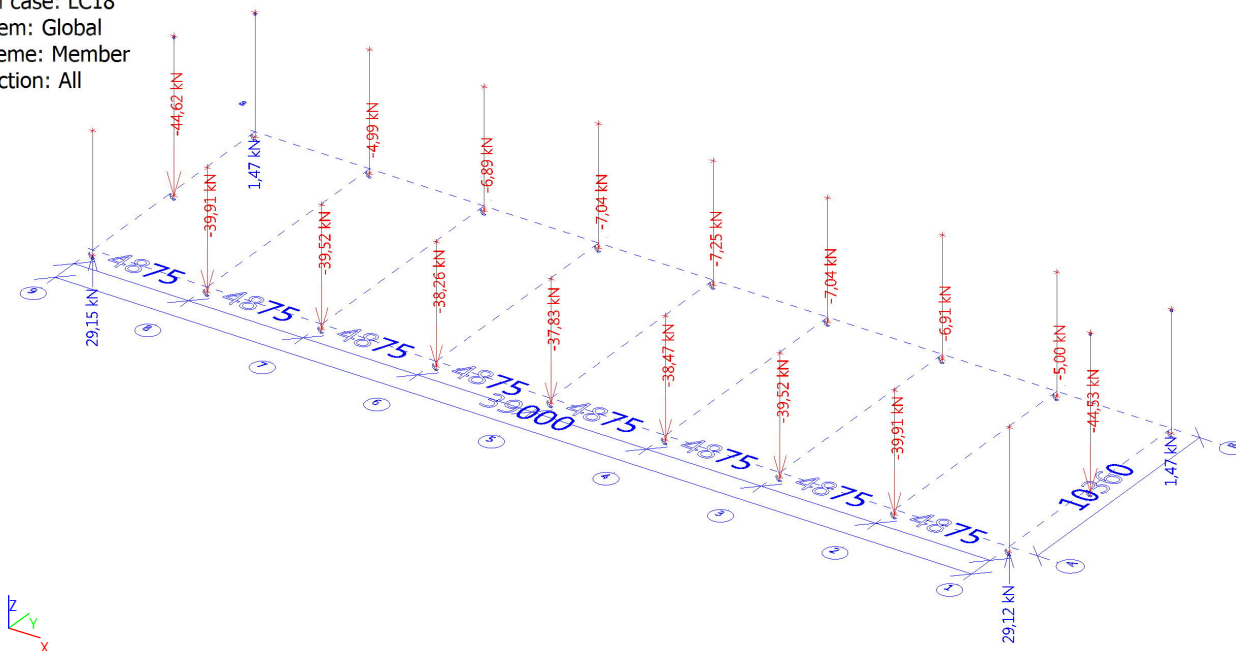
Reakce od LC17

Linear calculation
Load case: LC17
System: Global
Extreme: Member
Selection: Sn1..Sn20
Nodal reactions

Name	Case	R _x [kN]	R _y [kN]	R _z [kN]	M _x [kNm]	M _y [kNm]	M _z [kNm]	e _x [mm]	e _y [mm]
Sn1/N1	LC17	3,86	5,86	22,30	0,00	0,00	-0,04	0,0	0,0
Sn2/N3	LC17	5,85	1,63	0,72	0,00	0,00	0,00	0,0	0,0
Sn3/N7	LC17	0,02	0,72	12,48	0,00	0,00	0,00	0,0	0,0
Sn4/N9	LC17	0,00	3,38	1,25	0,00	0,00	0,00	0,0	0,0
Sn5/N13	LC17	0,02	1,03	12,96	0,00	0,00	0,00	0,0	0,0
Sn6/N15	LC17	0,00	3,65	0,92	0,00	0,00	0,00	0,0	0,0
Sn7/N19	LC17	0,01	1,25	13,23	0,00	0,00	0,00	0,0	0,0
Sn8/N21	LC17	0,00	3,80	0,77	0,00	0,00	0,00	0,0	0,0
Sn9/N25	LC17	0,00	1,32	13,39	0,00	0,00	0,00	0,0	0,0
Sn10/N27	LC17	-0,68	3,85	0,69	0,00	0,00	0,01	0,0	0,0
Sn11/N31	LC17	0,00	1,24	13,15	0,00	0,00	0,00	0,0	0,0
Sn12/N33	LC17	0,65	3,81	0,77	0,00	0,00	-0,01	0,0	0,0
Sn13/N37	LC17	-0,01	1,03	12,96	0,00	0,00	0,00	0,0	0,0
Sn14/N39	LC17	0,00	3,65	0,91	0,00	0,00	0,00	0,0	0,0
Sn15/N43	LC17	-0,01	0,72	12,48	0,00	0,00	0,00	0,0	0,0
Sn16/N45	LC17	0,00	3,38	1,25	0,00	0,00	0,00	0,0	0,0
Sn17/N49	LC17	-3,86	5,86	22,29	0,00	0,00	0,03	0,0	0,0
Sn18/N51	LC17	-5,85	1,63	0,72	0,00	0,00	0,00	0,0	0,0
Sn19/N55	LC17	-10,23	7,33	-12,68	0,00	0,00	-0,06	0,0	0,0
Sn20/N56	LC17	10,23	7,34	-12,71	0,00	0,00	0,06	0,0	0,0

LC18-vítr 2f - Reakce Rz

Values: **R_z**
Linear calculation
Load case: LC18
System: Global
Extreme: Member
Selection: All



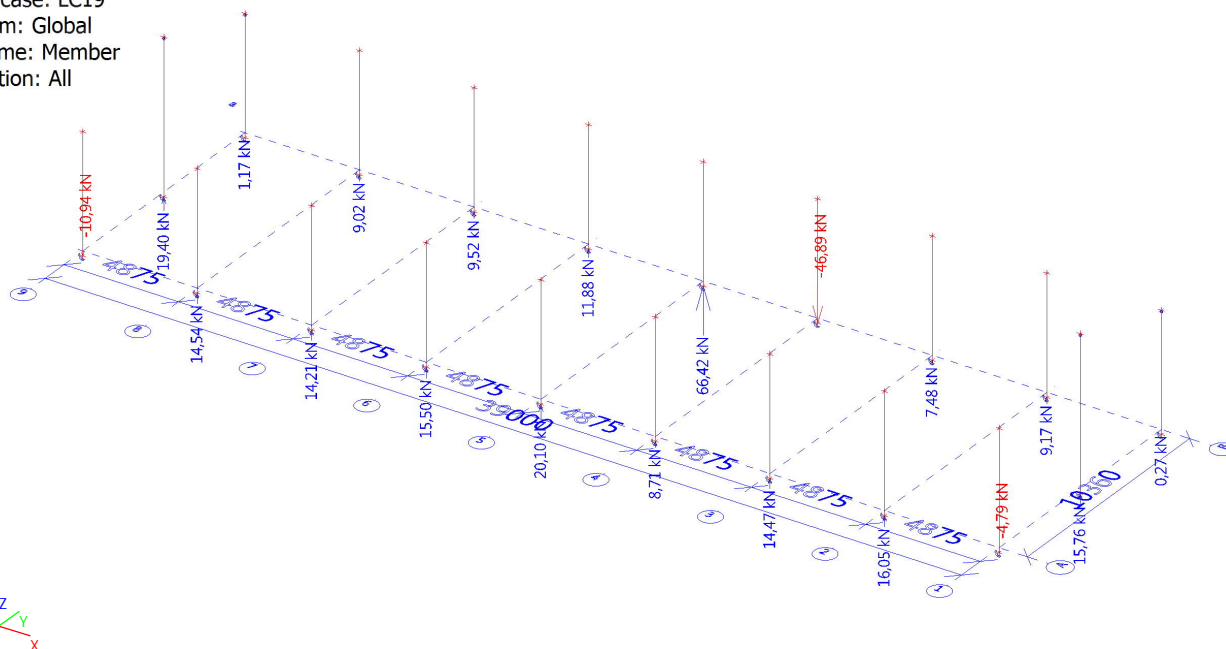
Reakce od LC18

Linear calculation
Load case: LC18
System: Global
Extreme: Member
Selection: Sn1..Sn20
Nodal reactions

Name	Case	R _x [kN]	R _y [kN]	R _z [kN]	M _x [kNm]	M _y [kNm]	M _z [kNm]	e _x [mm]	e _y [mm]
Sn1/N1	LC18	3,90	14,35	29,15	0,00	0,00	-0,05	0,0	0,0
Sn2/N3	LC18	5,85	1,63	1,47	0,00	0,00	0,00	0,0	0,0
Sn3/N7	LC18	0,06	-2,30	-39,91	0,00	0,00	0,00	0,0	0,0
Sn4/N9	LC18	0,00	7,48	-4,99	0,00	0,00	0,00	0,0	0,0
Sn5/N13	LC18	0,05	-1,66	-39,52	0,00	0,00	0,00	0,0	0,0
Sn6/N15	LC18	0,00	8,70	-6,89	0,00	0,00	0,00	0,0	0,0
Sn7/N19	LC18	0,03	-0,91	-38,26	0,00	0,00	0,00	0,0	0,0
Sn8/N21	LC18	0,00	9,02	-7,04	0,00	0,00	0,00	0,0	0,0
Sn9/N25	LC18	0,01	-0,68	-37,83	0,00	0,00	0,00	0,0	0,0
Sn10/N27	LC18	-1,27	9,18	-7,25	0,00	0,00	0,04	0,0	0,0
Sn11/N31	LC18	-0,01	-0,92	-38,47	0,00	0,00	0,00	0,0	0,0
Sn12/N33	LC18	1,21	9,06	-7,04	0,00	0,00	-0,04	0,0	0,0
Sn13/N37	LC18	-0,03	-1,66	-39,52	0,00	0,00	0,00	0,0	0,0
Sn14/N39	LC18	0,00	8,71	-6,91	0,00	0,00	0,00	0,0	0,0
Sn15/N43	LC18	-0,04	-2,30	-39,91	0,00	0,00	0,00	0,0	0,0
Sn16/N45	LC18	0,00	7,49	-5,00	0,00	0,00	0,00	0,0	0,0
Sn17/N49	LC18	-3,89	14,33	29,12	0,00	0,00	0,04	0,0	0,0
Sn18/N51	LC18	-5,85	1,63	1,47	0,00	0,00	0,00	0,0	0,0
Sn19/N55	LC18	-10,22	22,83	-44,53	0,00	0,00	-0,06	0,0	0,0
Sn20/N56	LC18	10,22	22,86	-44,62	0,00	0,00	0,06	0,0	0,0

LC19-vítr 3a - Reakce Rz

Values: **R_z**
Linear calculation
Load case: LC19
System: Global
Extreme: Member
Selection: All



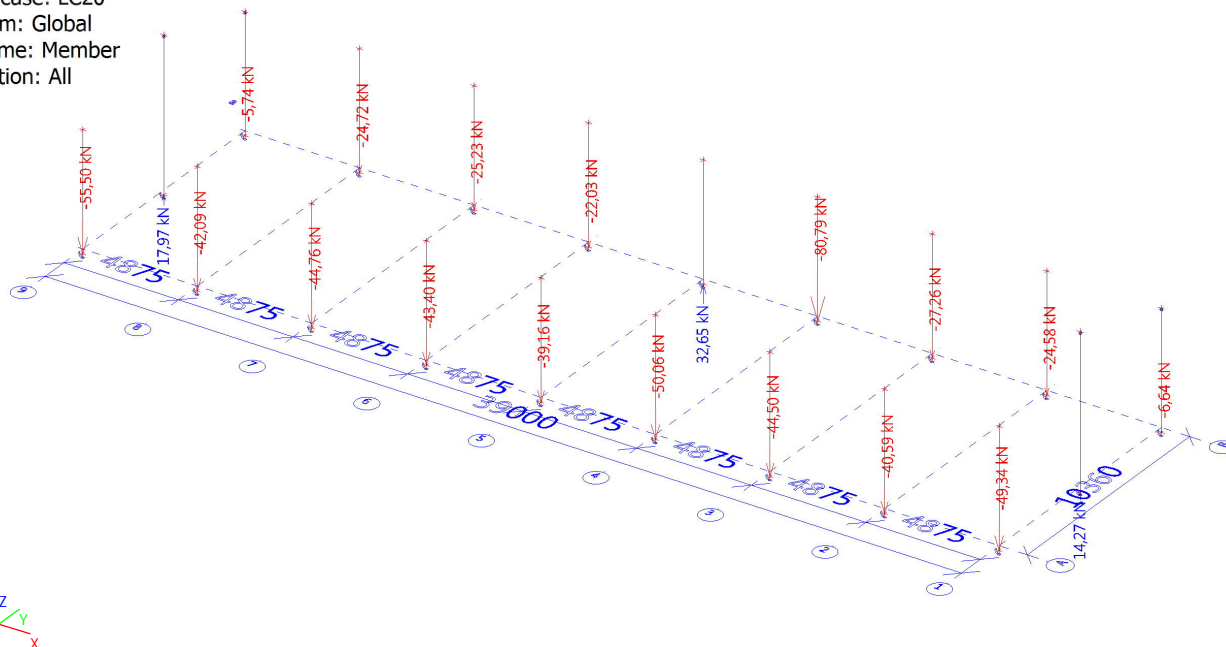
Reakce od LC19

Linear calculation
Load case: LC19
System: Global
Extreme: Member
Selection: Sn1..Sn20
Nodal reactions

Name	Case	R _x [kN]	R _y [kN]	R _z [kN]	M _x [kNm]	M _y [kNm]	M _z [kNm]	e _x [mm]	e _y [mm]
Sn1/N1	LC19	4,80	-5,04	-10,94	0,00	0,00	-0,02	0,0	0,0
Sn2/N3	LC19	4,87	-1,09	1,17	0,00	0,00	0,00	0,0	0,0
Sn3/N7	LC19	0,00	1,34	14,54	0,00	0,00	0,00	0,0	0,0
Sn4/N9	LC19	0,00	-5,84	9,02	0,00	0,00	0,01	0,0	0,0
Sn5/N13	LC19	0,01	1,08	14,21	0,00	0,00	0,00	0,0	0,0
Sn6/N15	LC19	0,00	-6,21	9,52	0,00	0,00	0,01	0,0	0,0
Sn7/N19	LC19	0,02	1,65	15,50	0,00	0,00	0,00	0,0	0,0
Sn8/N21	LC19	0,00	-7,31	11,88	0,00	0,00	0,01	0,0	0,0
Sn9/N25	LC19	0,03	3,27	20,10	0,00	0,00	0,00	0,0	0,0
Sn10/N27	LC19	24,71	-10,04	66,42	0,00	0,00	-0,01	0,0	0,0
Sn11/N31	LC19	0,03	-0,94	8,71	0,00	0,00	0,00	0,0	0,0
Sn12/N33	LC19	23,54	-2,58	-46,89	0,00	0,00	0,05	0,0	0,0
Sn13/N37	LC19	0,03	1,26	14,47	0,00	0,00	0,00	0,0	0,0
Sn14/N39	LC19	0,00	-6,74	7,48	0,00	0,00	0,01	0,0	0,0
Sn15/N43	LC19	0,03	2,11	16,05	0,00	0,00	0,00	0,0	0,0
Sn16/N45	LC19	0,00	-7,38	9,17	0,00	0,00	0,01	0,0	0,0
Sn17/N49	LC19	4,84	-3,07	-4,79	0,00	0,00	-0,02	0,0	0,0
Sn18/N51	LC19	4,87	-2,61	0,27	0,00	0,00	0,00	0,0	0,0
Sn19/N55	LC19	12,78	-4,99	15,76	0,00	0,00	0,08	0,0	0,0
Sn20/N56	LC19	12,78	-8,00	19,40	0,00	0,00	0,08	0,0	0,0

LC20-vítr 3b - Reakce Rz

Values: R_z
Linear calculation
Load case: LC20
System: Global
Extreme: Member
Selection: All



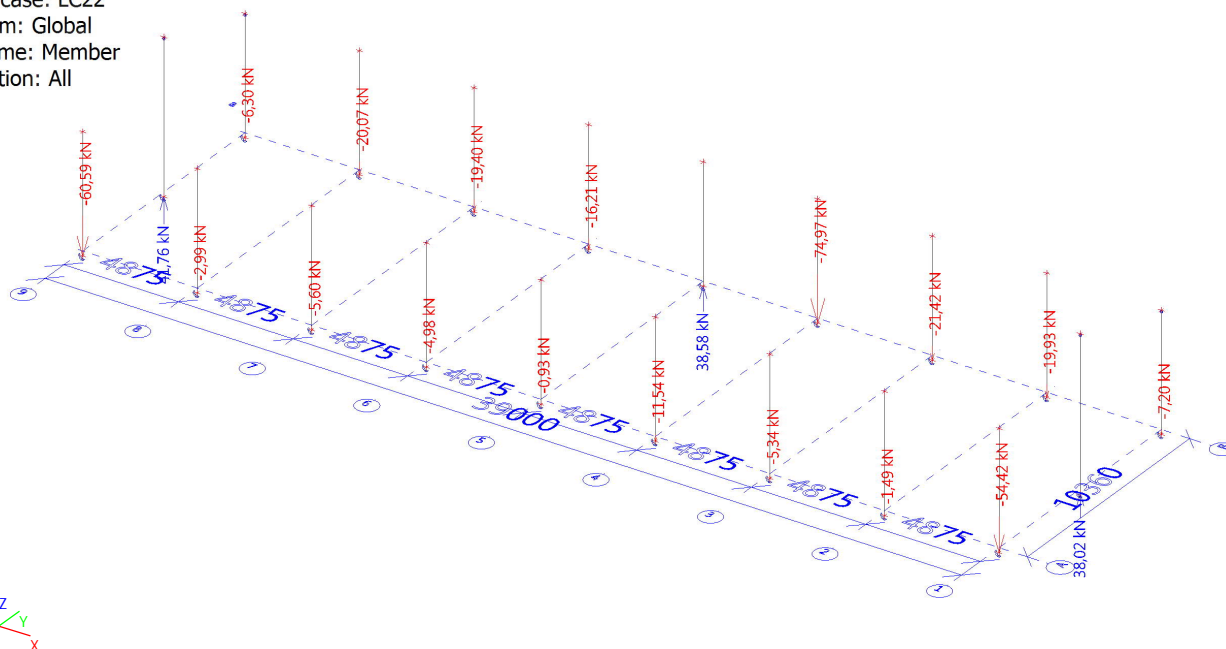
Reakce od LC20

Linear calculation
Load case: LC20
System: Global
Extreme: Member
Selection: Sn1..Sn20
Nodal reactions

Name	Case	R _x [kN]	R _y [kN]	R _z [kN]	M _x [kNm]	M _y [kNm]	M _z [kNm]	e _x [mm]	e _y [mm]
Sn1/N1	LC20	4,76	-14,11	-55,50	0,00	0,00	0,00	0,0	0,0
Sn2/N3	LC20	4,87	-1,09	-5,74	0,00	0,00	0,00	0,0	0,0
Sn3/N7	LC20	-0,03	-4,95	-42,09	0,00	0,00	0,00	0,0	0,0
Sn4/N9	LC20	0,00	4,70	-24,72	0,00	0,00	0,01	0,0	0,0
Sn5/N13	LC20	-0,02	-6,48	-44,76	0,00	0,00	0,00	0,0	0,0
Sn6/N15	LC20	0,00	4,54	-25,23	0,00	0,00	0,01	0,0	0,0
Sn7/N19	LC20	0,00	-6,08	-43,40	0,00	0,00	0,00	0,0	0,0
Sn8/N21	LC20	0,00	2,91	-22,03	0,00	0,00	0,01	0,0	0,0
Sn9/N25	LC20	0,02	-4,59	-39,16	0,00	0,00	0,00	0,0	0,0
Sn10/N27	LC20	22,99	0,09	32,65	0,00	0,00	0,04	0,0	0,0
Sn11/N31	LC20	0,04	-8,66	-50,06	0,00	0,00	0,00	0,0	0,0
Sn12/N33	LC20	25,30	7,62	-80,79	0,00	0,00	0,00	0,0	0,0
Sn13/N37	LC20	0,05	-6,29	-44,50	0,00	0,00	0,00	0,0	0,0
Sn14/N39	LC20	0,00	4,00	-27,26	0,00	0,00	0,01	0,0	0,0
Sn15/N43	LC20	0,06	-4,18	-40,59	0,00	0,00	0,00	0,0	0,0
Sn16/N45	LC20	0,00	3,16	-24,58	0,00	0,00	0,01	0,0	0,0
Sn17/N49	LC20	4,87	-12,13	-49,34	0,00	0,00	-0,03	0,0	0,0
Sn18/N51	LC20	4,87	-2,61	-6,64	0,00	0,00	0,00	0,0	0,0
Sn19/N55	LC20	12,77	-14,89	14,27	0,00	0,00	0,08	0,0	0,0
Sn20/N56	LC20	12,79	-17,91	17,97	0,00	0,00	0,08	0,0	0,0

LC22-vítr 3d - Reakce Rz

Values: R_z
Linear calculation
Load case: LC22
System: Global
Extreme: Member
Selection: All



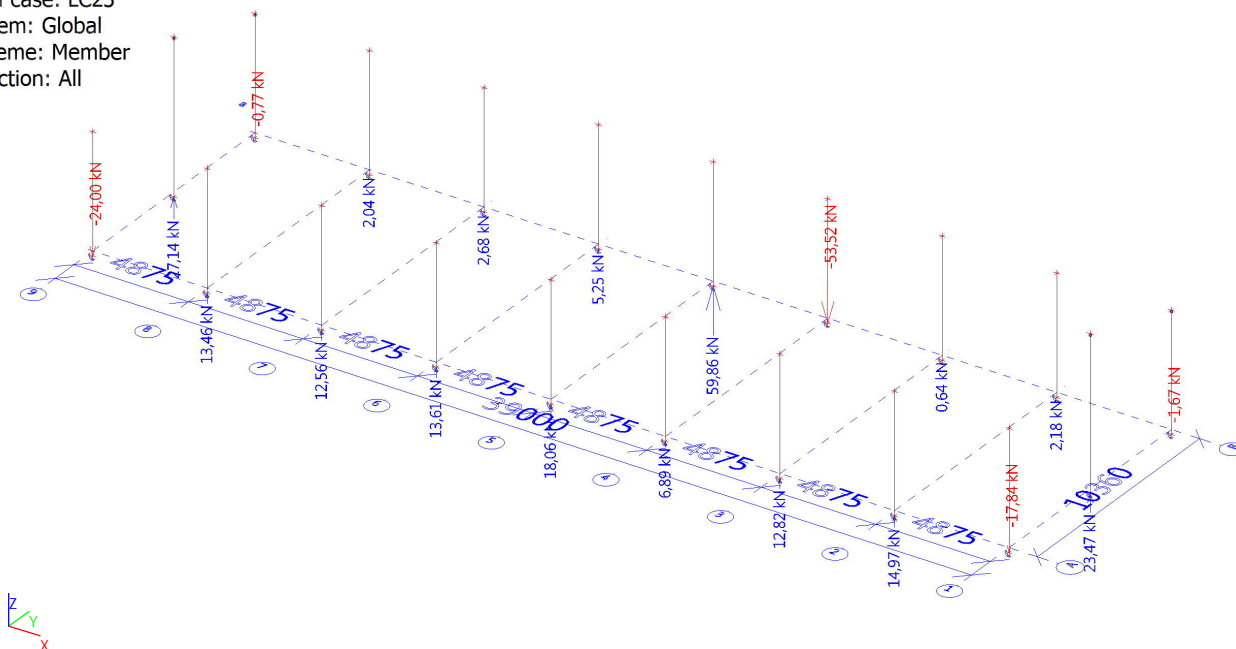
Reakce od LC22

Linear calculation
Load case: LC22
System: Global
Extreme: Member
Selection: Sn1..Sn20
Nodal reactions

Name	Case	R _x [kN]	R _y [kN]	R _z [kN]	M _x [kNm]	M _y [kNm]	M _z [kNm]	e _x [mm]	e _y [mm]
Sn1/N1	LC22	4,73	-20,43	-60,59	0,00	0,00	0,01	0,0	0,0
Sn2/N3	LC22	4,87	-1,09	-6,30	0,00	0,00	0,00	0,0	0,0
Sn3/N7	LC22	-0,06	-2,70	-2,99	0,00	0,00	0,00	0,0	0,0
Sn4/N9	LC22	0,00	1,64	-20,07	0,00	0,00	0,01	0,0	0,0
Sn5/N13	LC22	-0,04	-4,47	-5,60	0,00	0,00	0,00	0,0	0,0
Sn6/N15	LC22	0,00	0,77	-19,40	0,00	0,00	0,01	0,0	0,0
Sn7/N19	LC22	-0,01	-4,48	-4,98	0,00	0,00	0,00	0,0	0,0
Sn8/N21	LC22	0,00	-0,99	-16,21	0,00	0,00	0,01	0,0	0,0
Sn9/N25	LC22	0,02	-3,11	-0,93	0,00	0,00	0,00	0,0	0,0
Sn10/N27	LC22	23,43	-3,88	38,58	0,00	0,00	0,02	0,0	0,0
Sn11/N31	LC22	0,05	-7,04	-11,54	0,00	0,00	0,00	0,0	0,0
Sn12/N33	LC22	24,89	3,70	-74,97	0,00	0,00	0,02	0,0	0,0
Sn13/N37	LC22	0,07	-4,29	-5,34	0,00	0,00	0,00	0,0	0,0
Sn14/N39	LC22	0,00	0,23	-21,42	0,00	0,00	0,01	0,0	0,0
Sn15/N43	LC22	0,08	-1,93	-1,49	0,00	0,00	0,00	0,0	0,0
Sn16/N45	LC22	0,00	0,10	-19,93	0,00	0,00	0,01	0,0	0,0
Sn17/N49	LC22	4,90	-18,45	-54,42	0,00	0,00	-0,04	0,0	0,0
Sn18/N51	LC22	4,87	-2,61	-7,20	0,00	0,00	0,00	0,0	0,0
Sn19/N55	LC22	12,77	-26,44	38,02	0,00	0,00	0,07	0,0	0,0
Sn20/N56	LC22	12,79	-29,48	41,76	0,00	0,00	0,08	0,0	0,0

LC23-vítr 3e - Reakce Rz

Values: **R_z**
Linear calculation
Load case: LC23
System: Global
Extreme: Member
Selection: All



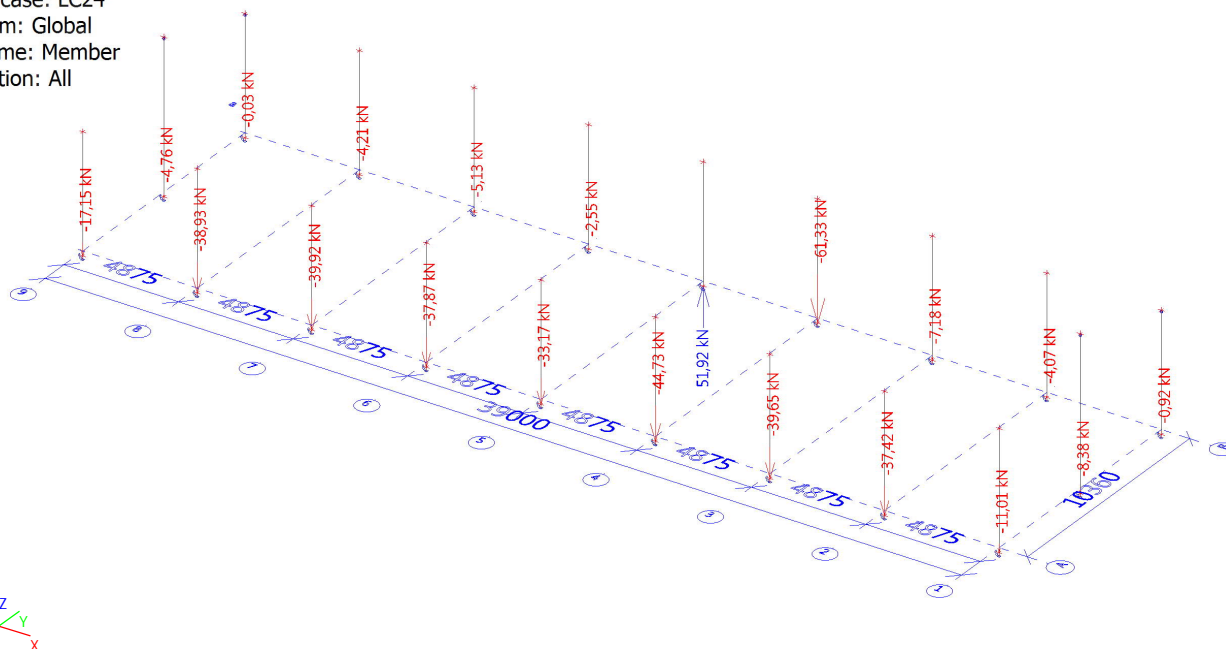
Reakce od LC23

Linear calculation
Load case: LC23
System: Global
Extreme: Member
Selection: Sn1..Sn20
Nodal reactions

Name	Case	R _x [kN]	R _y [kN]	R _z [kN]	M _x [kNm]	M _y [kNm]	M _z [kNm]	e _x [mm]	e _y [mm]
Sn1/N1	LC23	4,78	-9,50	-24,00	0,00	0,00	-0,01	0,0	0,0
Sn2/N3	LC23	4,87	-1,09	-0,77	0,00	0,00	0,00	0,0	0,0
Sn3/N7	LC23	-0,02	0,51	13,46	0,00	0,00	0,00	0,0	0,0
Sn4/N9	LC23	0,00	-4,21	2,04	0,00	0,00	0,01	0,0	0,0
Sn5/N13	LC23	0,00	-0,16	12,56	0,00	0,00	0,00	0,0	0,0
Sn6/N15	LC23	0,00	-4,77	2,68	0,00	0,00	0,01	0,0	0,0
Sn7/N19	LC23	0,01	0,23	13,61	0,00	0,00	0,00	0,0	0,0
Sn8/N21	LC23	0,00	-6,04	5,25	0,00	0,00	0,01	0,0	0,0
Sn9/N25	LC23	0,03	1,78	18,06	0,00	0,00	0,00	0,0	0,0
Sn10/N27	LC23	24,42	-8,82	59,86	0,00	0,00	0,00	0,0	0,0
Sn11/N31	LC23	0,04	-2,35	6,89	0,00	0,00	0,00	0,0	0,0
Sn12/N33	LC23	23,85	-1,32	-53,52	0,00	0,00	0,04	0,0	0,0
Sn13/N37	LC23	0,04	0,03	12,82	0,00	0,00	0,00	0,0	0,0
Sn14/N39	LC23	0,00	-5,30	0,64	0,00	0,00	0,01	0,0	0,0
Sn15/N43	LC23	0,04	1,28	14,97	0,00	0,00	0,00	0,0	0,0
Sn16/N45	LC23	0,00	-5,74	2,18	0,00	0,00	0,01	0,0	0,0
Sn17/N49	LC23	4,85	-7,52	-17,84	0,00	0,00	-0,03	0,0	0,0
Sn18/N51	LC23	4,87	-2,61	-1,67	0,00	0,00	0,00	0,0	0,0
Sn19/N55	LC23	12,77	-11,44	23,47	0,00	0,00	0,08	0,0	0,0
Sn20/N56	LC23	12,79	-14,46	27,14	0,00	0,00	0,08	0,0	0,0

LC24-vítr 3f - Reakce Rz

Values: R_z
Linear calculation
Load case: LC24
System: Global
Extreme: Member
Selection: All



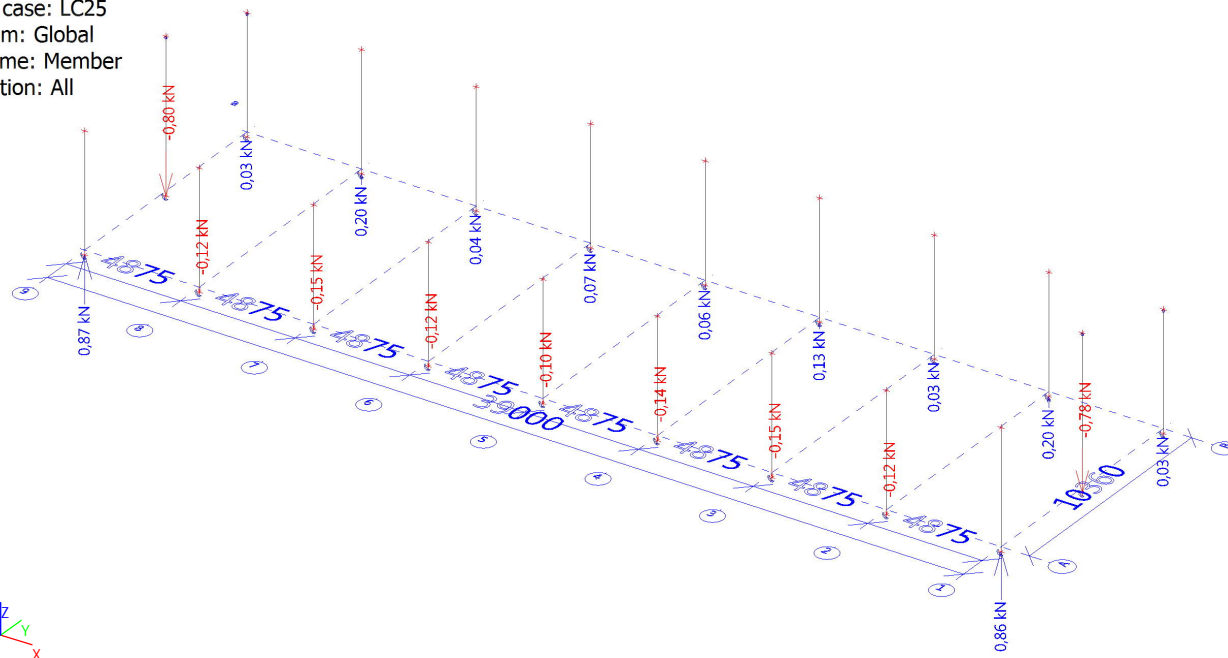
Reakce od LC24

Linear calculation
Load case: LC24
System: Global
Extreme: Member
Selection: Sn1..Sn20
Nodal reactions

Name	Case	R _x [kN]	R _y [kN]	R _z [kN]	M _x [kNm]	M _y [kNm]	M _z [kNm]	e _x [mm]	e _y [mm]
Sn1/N1	LC24	4,83	-1,02	-17,15	0,00	0,00	-0,02	0,0	0,0
Sn2/N3	LC24	4,87	-1,09	-0,03	0,00	0,00	0,00	0,0	0,0
Sn3/N7	LC24	0,02	-2,52	-38,93	0,00	0,00	0,00	0,0	0,0
Sn4/N9	LC24	0,00	-0,10	-4,21	0,00	0,00	0,01	0,0	0,0
Sn5/N13	LC24	0,03	-2,85	-39,92	0,00	0,00	0,00	0,0	0,0
Sn6/N15	LC24	0,00	0,29	-5,13	0,00	0,00	0,01	0,0	0,0
Sn7/N19	LC24	0,03	-1,92	-37,87	0,00	0,00	0,00	0,0	0,0
Sn8/N21	LC24	0,00	-0,82	-2,55	0,00	0,00	0,01	0,0	0,0
Sn9/N25	LC24	0,03	-0,22	-33,17	0,00	0,00	0,00	0,0	0,0
Sn10/N27	LC24	23,83	-3,49	51,92	0,00	0,00	0,02	0,0	0,0
Sn11/N31	LC24	0,03	-4,51	-44,73	0,00	0,00	0,00	0,0	0,0
Sn12/N33	LC24	24,41	3,92	-61,33	0,00	0,00	0,01	0,0	0,0
Sn13/N37	LC24	0,02	-2,66	-39,65	0,00	0,00	0,00	0,0	0,0
Sn14/N39	LC24	0,00	-0,24	-7,18	0,00	0,00	0,01	0,0	0,0
Sn15/N43	LC24	0,01	-1,74	-37,42	0,00	0,00	0,00	0,0	0,0
Sn16/N45	LC24	0,00	-1,64	-4,07	0,00	0,00	0,01	0,0	0,0
Sn17/N49	LC24	4,82	0,95	-11,01	0,00	0,00	-0,02	0,0	0,0
Sn18/N51	LC24	4,87	-2,61	-0,92	0,00	0,00	0,00	0,0	0,0
Sn19/N55	LC24	12,78	4,05	-8,38	0,00	0,00	0,08	0,0	0,0
Sn20/N56	LC24	12,78	1,05	-4,76	0,00	0,00	0,08	0,0	0,0

LC25-teplota + - Reakce Rz

Values: **R_z**
Linear calculation
Load case: LC25
System: Global
Extreme: Member
Selection: All



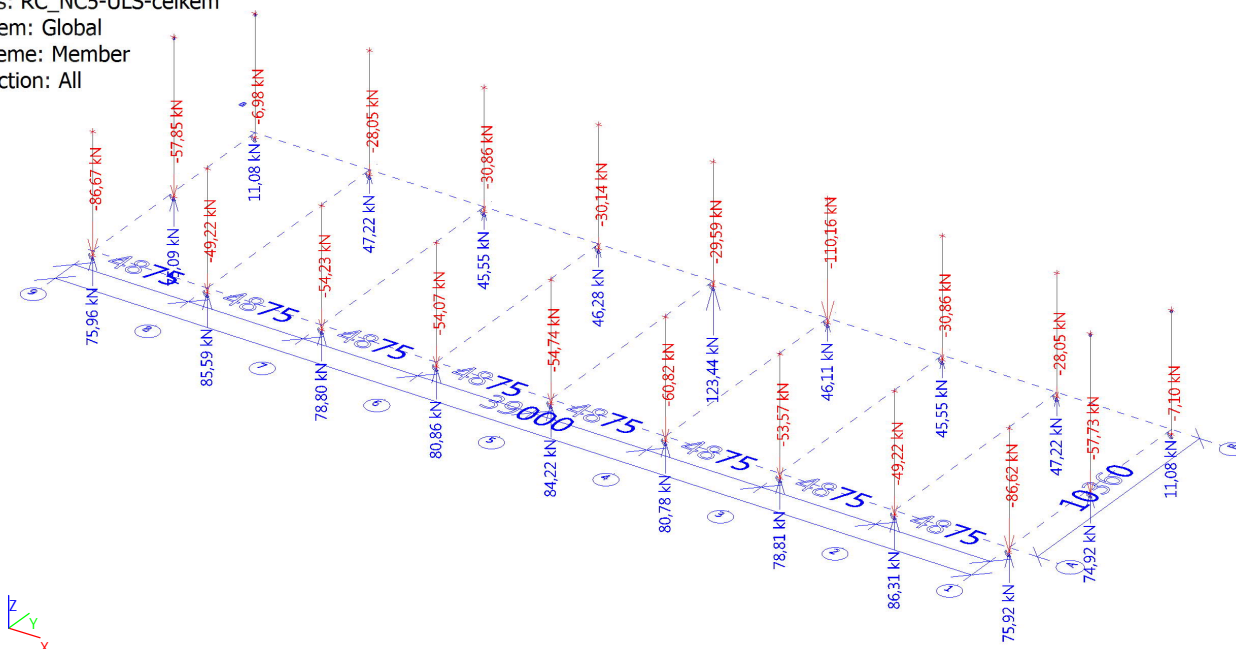
Reakce od LC25

Linear calculation
Load case: LC25
System: Global
Extreme: Member
Selection: Sn1..Sn20
Nodal reactions

Name	Case	R _x [kN]	R _y [kN]	R _z [kN]	M _x [kNm]	M _y [kNm]	M _z [kNm]	e _x [mm]	e _y [mm]
Sn1/N1	LC25	0,03	15,39	0,87	0,00	0,00	-0,01	0,0	0,0
Sn2/N3	LC25	0,00	0,00	0,03	0,00	0,00	0,00	0,0	0,0
Sn3/N7	LC25	0,02	0,04	-0,12	0,00	0,00	0,00	0,0	0,0
Sn4/N9	LC25	0,00	-0,27	0,20	0,00	0,00	0,00	0,0	0,0
Sn5/N13	LC25	0,01	0,02	-0,15	0,00	0,00	0,00	0,0	0,0
Sn6/N15	LC25	0,00	-0,19	0,04	0,00	0,00	0,00	0,0	0,0
Sn7/N19	LC25	0,01	0,04	-0,12	0,00	0,00	0,00	0,0	0,0
Sn8/N21	LC25	0,00	-0,20	0,07	0,00	0,00	0,00	0,0	0,0
Sn9/N25	LC25	0,00	0,04	-0,10	0,00	0,00	0,00	0,0	0,0
Sn10/N27	LC25	16,33	-0,21	0,06	0,00	0,00	0,00	0,0	0,0
Sn11/N31	LC25	0,00	0,04	-0,14	0,00	0,00	0,00	0,0	0,0
Sn12/N33	LC25	-16,35	-0,21	0,13	0,00	0,00	0,00	0,0	0,0
Sn13/N37	LC25	-0,01	0,02	-0,15	0,00	0,00	0,00	0,0	0,0
Sn14/N39	LC25	0,00	-0,19	0,03	0,00	0,00	0,00	0,0	0,0
Sn15/N43	LC25	-0,01	0,04	-0,12	0,00	0,00	0,00	0,0	0,0
Sn16/N45	LC25	0,00	-0,27	0,20	0,00	0,00	0,00	0,0	0,0
Sn17/N49	LC25	-0,02	15,39	0,86	0,00	0,00	0,01	0,0	0,0
Sn18/N51	LC25	0,00	0,00	0,03	0,00	0,00	0,00	0,0	0,0
Sn19/N55	LC25	0,00	-14,74	-0,78	0,00	0,00	0,00	0,0	0,0
Sn20/N56	LC25	-0,01	-14,74	-0,80	0,00	0,00	0,00	0,0	0,0

Nelineární kombinace RC_NC5-ULS-celkem - Reakce Rz

Values: **R_z**
Nonlinear calculation
Class: RC_NC5-ULS-celkem
System: Global
Extreme: Member
Selection: All



Reakce od nelineárních kombinací RC_NC5-ULS-celkem

Nonlinear calculation
Class: RC_NC5-ULS-celkem
System: Global
Extreme: Member
Selection: Sn1..Sn20
Nodal reactions

Name	Case	R _x [kN]	R _y [kN]	R _z [kN]	M _x [kNm]	M _y [kNm]	M _z [kNm]	e _x [mm]	e _y [mm]
Sn1/N1	NC_ULS-Nahoru51	8,26	-9,75	-29,07	0,00	0,00	-0,07	0,0	0,0
Sn1/N1	NC_ULS-Dolů397	5,79	0,49	42,42	0,00	0,00	-0,06	0,0	0,0
Sn1/N1	NC_ULS-Nahoru59	8,11	-77,59	-86,67	0,00	0,00	-0,02	0,0	0,0
Sn1/N1	NC_ULS-Dolů376	5,81	-0,78	75,96	0,00	0,00	-0,06	0,0	0,0
Sn1/N1	NC_ULS-Dolů18	-0,04	-24,08	9,73	0,00	0,00	0,02	0,0	0,0
Sn1/N1	NC_ULS-Nahoru54	5,87	-0,69	49,76	0,00	0,00	-0,08	0,0	0,0
Sn2/N3	NC_ULS-Nahoru71	8,78	2,45	-3,44	0,00	0,00	0,00	0,0	0,0
Sn2/N3	NC_ULS-Nahoru68	8,38	-3,74	-6,98	0,00	0,00	-0,01	0,0	0,0
Sn2/N3	NC_ULS-Dolů212	5,26	1,47	11,08	0,00	0,00	0,00	0,0	0,0
Sn2/N3	NC_ULS-Dolů1	0,00	0,00	5,13	0,00	0,00	0,00	0,0	0,0
Sn2/N3	NC_ULS-Nahoru59	8,38	-3,74	-6,97	0,00	0,00	-0,01	0,0	0,0
Sn2/N3	NC_ULS-Nahoru57	7,31	-1,63	4,41	0,00	0,00	0,01	0,0	0,0
Sn3/N7	NC_ULS-Nahoru54	0,09	-1,28	-41,16	0,00	0,00	0,00	0,0	0,0
Sn3/N7	NC_ULS-Nahoru73	-0,01	-7,17	-49,10	0,00	0,00	0,00	0,0	0,0
Sn3/N7	NC_ULS-Dolů205	0,05	7,42	84,51	0,00	0,00	0,00	0,0	0,0
Sn3/N7	NC_ULS-Nahoru61	0,01	-5,94	-49,22	0,00	0,00	0,00	0,0	0,0
Sn3/N7	NC_ULS-Dolů227	-0,03	6,87	85,59	0,00	0,00	0,00	0,0	0,0
Sn3/N7	NC_ULS-Nahoru59	-0,12	-4,01	10,33	0,00	0,00	0,00	0,0	0,0
Sn3/N7	NC_ULS-Dolů380	0,05	4,53	33,34	0,00	0,00	0,00	0,0	0,0
Sn3/N7	NC_ULS-Nahoru74	-0,04	-4,22	8,96	0,00	0,00	0,00	0,0	0,0
Sn4/N9	NC_ULS-Nahoru91	0,00	4,39	7,04	0,00	0,00	0,00	0,0	0,0
Sn4/N9	NC_ULS-Dolů329	0,00	-21,13	39,49	0,00	0,00	0,00	0,0	0,0

Name	Case	R _x [kN]	R _y [kN]	R _z [kN]	M _x [kNm]	M _y [kNm]	M _z [kNm]	e _x [mm]	e _y [mm]
Sn4/N9	NC_ULS-Nahoru61	0,00	16,32	-28,05	0,00	0,00	0,00	0,0	0,0
Sn4/N9	NC_ULS-Dolů197	0,00	-19,19	47,22	0,00	0,00	0,00	0,0	0,0
Sn4/N9	NC_ULS-Nahoru65	-0,01	-0,60	-18,81	0,00	0,00	0,02	0,0	0,0
Sn4/N9	NC_ULS-Nahoru54	0,00	9,17	3,77	0,00	0,00	0,00	0,0	0,0
Sn4/N9	NC_ULS-Dolů436	0,00	-8,43	13,38	0,00	0,00	0,02	0,0	0,0
Sn5/N13	NC_ULS-Nahoru54	0,07	0,01	-41,46	0,00	0,00	0,00	0,0	0,0
Sn5/N13	NC_ULS-Nahoru67	-0,04	-9,57	-53,10	0,00	0,00	0,00	0,0	0,0
Sn5/N13	NC_ULS-Nahoru73	0,01	-9,43	-54,23	0,00	0,00	0,01	0,0	0,0
Sn5/N13	NC_ULS-Dolů205	0,04	8,77	78,80	0,00	0,00	0,00	0,0	0,0
Sn5/N13	NC_ULS-Nahoru59	-0,08	-6,94	5,26	0,00	0,00	0,00	0,0	0,0
Sn5/N13	NC_ULS-Dolů380	0,05	6,31	32,81	0,00	0,00	0,00	0,0	0,0
Sn5/N13	NC_ULS-Nahoru74	-0,01	-6,96	3,77	0,00	0,00	0,01	0,0	0,0
Sn6/N15	NC_ULS-Dolů329	0,00	-22,03	39,88	0,00	0,00	0,00	0,0	0,0
Sn6/N15	NC_ULS-Nahoru61	0,00	17,47	-30,80	0,00	0,00	0,00	0,0	0,0
Sn6/N15	NC_ULS-Nahoru70	0,00	17,39	-30,86	0,00	0,00	0,00	0,0	0,0
Sn6/N15	NC_ULS-Dolů197	0,00	-19,20	45,55	0,00	0,00	0,00	0,0	0,0
Sn6/N15	NC_ULS-Dolů436	0,00	-9,32	14,10	0,00	0,00	0,02	0,0	0,0
Sn6/N15	NC_ULS-Nahoru54	0,00	11,35	0,03	0,00	0,00	0,00	0,0	0,0
Sn7/N19	NC_ULS-Nahoru57	0,06	-1,27	-39,93	0,00	0,00	0,00	0,0	0,0
Sn7/N19	NC_ULS-Nahoru67	-0,02	-10,64	-54,07	0,00	0,00	0,00	0,0	0,0
Sn7/N19	NC_ULS-Dolů205	0,02	9,22	80,86	0,00	0,00	0,00	0,0	0,0
Sn7/N19	NC_ULS-Nahoru59	-0,05	-8,70	3,09	0,00	0,00	0,00	0,0	0,0
Sn7/N19	NC_ULS-Dolů376	0,03	7,77	45,88	0,00	0,00	0,00	0,0	0,0
Sn7/N19	NC_ULS-Nahoru74	0,01	-7,10	4,79	0,00	0,00	0,01	0,0	0,0
Sn8/N21	NC_ULS-Dolů329	0,00	-22,09	39,82	0,00	0,00	0,00	0,0	0,0
Sn8/N21	NC_ULS-Nahoru61	0,00	17,24	-30,13	0,00	0,00	0,00	0,0	0,0
Sn8/N21	NC_ULS-Nahoru70	0,00	17,14	-30,14	0,00	0,00	0,00	0,0	0,0
Sn8/N21	NC_ULS-Dolů214	0,00	-15,87	46,28	0,00	0,00	0,01	0,0	0,0
Sn8/N21	NC_ULS-Dolů436	0,00	-11,17	17,85	0,00	0,00	0,02	0,0	0,0
Sn8/N21	NC_ULS-Nahoru54	0,00	11,97	-0,27	0,00	0,00	0,00	0,0	0,0
Sn8/N21	NC_ULS-Nahoru65	0,00	-4,58	-13,38	0,00	0,00	0,02	0,0	0,0
Sn9/N25	NC_ULS-Nahoru57	0,06	1,17	-33,27	0,00	0,00	0,00	0,0	0,0
Sn9/N25	NC_ULS-Dolů205	0,01	9,44	81,04	0,00	0,00	0,00	0,0	0,0
Sn9/N25	NC_ULS-Nahoru67	0,00	-11,04	-54,74	0,00	0,00	0,00	0,0	0,0
Sn9/N25	NC_ULS-Dolů244	0,03	9,15	84,22	0,00	0,00	0,00	0,0	0,0
Sn9/N25	NC_ULS-Dolů535	-0,01	-0,07	25,24	0,00	0,00	0,00	0,0	0,0
Sn9/N25	NC_ULS-Nahoru45	0,01	1,45	-38,52	0,00	0,00	0,00	0,0	0,0
Sn9/N25	NC_ULS-Nahoru74	0,05	-5,21	10,53	0,00	0,00	0,01	0,0	0,0
Sn10/N27	NC_ULS-Nahoru92	0,03	-2,97	41,72	0,00	0,00	0,03	0,0	0,0
Sn10/N27	NC_ULS-Nahoru61	-2,50	17,26	-29,57	0,00	0,00	0,07	0,0	0,0
Sn10/N27	NC_ULS-Nahoru70	0,01	17,16	-29,59	0,00	0,00	0,07	0,0	0,0
Sn10/N27	NC_ULS-Dolů346	0,01	-20,85	123,44	0,00	0,00	-0,03	0,0	0,0
Sn10/N27	NC_ULS-Dolů538	-26,97	1,99	10,63	0,00	0,00	0,00	0,0	0,0
Sn10/N27	NC_ULS-Dolů329	0,01	-22,21	40,57	0,00	0,00	-0,09	0,0	0,0
Sn11/N31	NC_ULS-Nahoru73	0,07	-12,08	-60,82	0,00	0,00	0,00	0,0	0,0
Sn11/N31	NC_ULS-Dolů205	-0,01	9,20	80,78	0,00	0,00	0,00	0,0	0,0
Sn11/N31	NC_ULS-Nahoru54	-0,02	1,21	-39,38	0,00	0,00	0,00	0,0	0,0
Sn11/N31	NC_ULS-Nahoru65	0,08	-10,22	-3,68	0,00	0,00	0,01	0,0	0,0
Sn12/N33	NC_ULS-Nahoru65	72,36	2,64	-100,87	0,00	0,00	0,05	0,0	0,0
Sn12/N33	NC_ULS-Dolů329	-0,01	-22,13	40,58	0,00	0,00	0,09	0,0	0,0
Sn12/N33	NC_ULS-Nahoru64	72,33	8,99	-110,16	0,00	0,00	0,02	0,0	0,0
Sn12/N33	NC_ULS-Dolů197	-0,01	-19,03	46,11	0,00	0,00	0,08	0,0	0,0
Sn12/N33	NC_ULS-Nahoru89	-0,03	9,12	-12,07	0,00	0,00	-0,04	0,0	0,0
Sn12/N33	NC_ULS-Nahoru61	2,49	17,24	-29,52	0,00	0,00	-0,07	0,0	0,0
Sn12/N33	NC_ULS-Dolů346	72,28	-9,54	-46,18	0,00	0,00	0,11	0,0	0,0
Sn13/N37	NC_ULS-Nahoru67	0,04	-9,57	-53,09	0,00	0,00	0,00	0,0	0,0
Sn13/N37	NC_ULS-Nahoru73	0,07	-8,95	-53,57	0,00	0,00	0,00	0,0	0,0
Sn13/N37	NC_ULS-Dolů205	-0,03	8,77	78,81	0,00	0,00	0,00	0,0	0,0

Name	Case	R _x [kN]	R _y [kN]	R _z [kN]	M _x [kNm]	M _y [kNm]	M _z [kNm]	e _x [mm]	e _y [mm]
Sn13/N37	NC_ULS-Nahoru54	-0,05	0,02	-41,44	0,00	0,00	0,00	0,0	0,0
Sn13/N37	NC_ULS-Nahoru65	0,10	-6,28	4,87	0,00	0,00	0,01	0,0	0,0
Sn14/N39	NC_ULS-Dolů535	0,00	-10,07	13,42	0,00	0,00	0,00	0,0	0,0
Sn14/N39	NC_ULS-Dolů329	0,00	-22,04	39,89	0,00	0,00	0,00	0,0	0,0
Sn14/N39	NC_ULS-Nahoru61	0,00	17,47	-30,79	0,00	0,00	0,00	0,0	0,0
Sn14/N39	NC_ULS-Nahoru70	0,00	17,39	-30,86	0,00	0,00	0,00	0,0	0,0
Sn14/N39	NC_ULS-Dolů197	0,00	-19,20	45,55	0,00	0,00	0,00	0,0	0,0
Sn14/N39	NC_ULS-Nahoru57	0,00	-2,55	0,22	0,00	0,00	0,02	0,0	0,0
Sn14/N39	NC_ULS-Dolů548	0,00	-12,95	28,45	0,00	0,00	0,00	0,0	0,0
Sn15/N43	NC_ULS-Nahoru67	0,07	-7,11	-48,09	0,00	0,00	0,00	0,0	0,0
Sn15/N43	NC_ULS-Dolů214	0,02	7,60	86,29	0,00	0,00	0,00	0,0	0,0
Sn15/N43	NC_ULS-Nahoru61	0,00	-5,94	-49,22	0,00	0,00	0,00	0,0	0,0
Sn15/N43	NC_ULS-Dolů244	0,03	7,51	86,31	0,00	0,00	0,00	0,0	0,0
Sn15/N43	NC_ULS-Nahoru54	-0,07	-1,27	-41,15	0,00	0,00	0,00	0,0	0,0
Sn15/N43	NC_ULS-Nahoru65	0,11	-2,82	11,70	0,00	0,00	0,01	0,0	0,0
Sn16/N45	NC_ULS-Dolů329	0,00	-21,13	39,49	0,00	0,00	0,00	0,0	0,0
Sn16/N45	NC_ULS-Nahoru61	0,00	16,32	-28,05	0,00	0,00	0,00	0,0	0,0
Sn16/N45	NC_ULS-Dolů197	0,00	-19,19	47,22	0,00	0,00	0,00	0,0	0,0
Sn16/N45	NC_ULS-Nahoru57	0,00	-4,91	5,58	0,00	0,00	0,02	0,0	0,0
Sn16/N45	NC_ULS-Dolů535	0,00	-8,99	12,10	0,00	0,00	0,00	0,0	0,0
Sn17/N49	NC_ULS-Dolů397	-5,79	0,49	42,40	0,00	0,00	0,05	0,0	0,0
Sn17/N49	NC_ULS-Nahoru59	-8,11	-77,52	-86,62	0,00	0,00	0,03	0,0	0,0
Sn17/N49	NC_ULS-Dolů376	-5,80	-0,77	75,92	0,00	0,00	0,06	0,0	0,0
Sn17/N49	NC_ULS-Nahoru51	-8,26	-9,75	-29,07	0,00	0,00	0,07	0,0	0,0
Sn17/N49	NC_ULS-Nahoru65	7,34	-56,88	-60,93	0,00	0,00	-0,05	0,0	0,0
Sn17/N49	NC_ULS-Nahoru54	-5,85	-0,68	49,70	0,00	0,00	0,07	0,0	0,0
Sn18/N51	NC_ULS-Nahoru74	7,31	-3,92	-7,10	0,00	0,00	0,01	0,0	0,0
Sn18/N51	NC_ULS-Dolů212	-5,26	1,47	11,08	0,00	0,00	0,00	0,0	0,0
Sn18/N51	NC_ULS-Nahoru71	-8,78	2,45	-3,44	0,00	0,00	0,00	0,0	0,0
Sn18/N51	NC_ULS-Dolů186	0,00	0,00	6,23	0,00	0,00	0,00	0,0	0,0
Sn18/N51	NC_ULS-Nahoru65	7,31	-3,92	-7,10	0,00	0,00	0,01	0,0	0,0
Sn19/N55	NC_ULS-Nahoru15	-9,21	-0,03	4,45	0,00	0,00	-0,05	0,0	0,0
Sn19/N55	NC_ULS-Nahoru45	-15,33	54,49	-57,04	0,00	0,00	-0,09	0,0	0,0
Sn19/N55	NC_ULS-Nahoru72	-15,34	53,56	-57,73	0,00	0,00	-0,09	0,0	0,0
Sn19/N55	NC_ULS-Nahoru41	-22,01	-0,01	74,92	0,00	0,00	-0,14	0,0	0,0
Sn19/N55	NC_ULS-Nahoru68	-22,01	-0,02	72,81	0,00	0,00	-0,14	0,0	0,0
Sn19/N55	NC_ULS-Nahoru59	-22,01	-0,01	74,30	0,00	0,00	-0,14	0,0	0,0
Sn19/N55	NC_ULS-Nahoru57	19,18	10,14	-6,66	0,00	0,00	0,12	0,0	0,0
Sn20/N56	NC_ULS-Nahoru68	22,01	-0,02	72,96	0,00	0,00	0,14	0,0	0,0
Sn20/N56	NC_ULS-Nahoru15	9,21	-0,03	4,47	0,00	0,00	0,05	0,0	0,0
Sn20/N56	NC_ULS-Nahoru45	15,33	54,57	-57,17	0,00	0,00	0,09	0,0	0,0
Sn20/N56	NC_ULS-Nahoru72	15,34	53,63	-57,85	0,00	0,00	0,09	0,0	0,0
Sn20/N56	NC_ULS-Nahoru41	22,00	-0,01	75,09	0,00	0,00	0,14	0,0	0,0
Sn20/N56	NC_ULS-Nahoru85	-0,01	2,37	4,64	0,00	0,00	0,00	0,0	0,0
Sn20/N56	NC_ULS-Nahoru59	22,00	-0,01	74,47	0,00	0,00	0,14	0,0	0,0